

# VI Transformée de Fourier discrète et filtrage

- Revisite du filtrage *linéaire* vu précédemment, mais sous l'angle du filtrage « directement » dans le plan de Fourier, i.e. le plan des fréquences spatiales (par le biais de la Transformée de Fourier (TF) bidimensionnelle).

=> de nouveaux horizons vont s'ouvrir à nous en termes d'amélioration/de restauration d'image...

- Illustrations/applications :
  - filtrage passe-bas (afin de « lisser » une image),
  - filtrage passe-haut (afin de faire ressortir les hautes fréquences => par exemple des contours),
  - filtrage passe-bande (pour enlever par ex. des biais périodiques => par exemple un tramage).
- D'autres applications abordées à la fin de ce chapitre (restauration/reconstruction d'image => déconvolution).

## (1) TF discrète (TFD, ou DFT en anglais) bidimensionnelle

- Soit  $f(x, y)$ , avec :  $x=0, 1, 2, \dots, M-1$ , et :  $y=0, 1, 2, \dots, N-1$ , une image digitale de taille  $M \times N$ .

La TFD de  $f(x, y)$ ,  $\hat{f}(u, v)$ , s'écrit :

$$\hat{f}(u, v) = \sum_{x=0}^{M-1} \sum_{y=0}^{N-1} f(x, y) \exp \{-i2\pi(ux/M + vy/N)\}$$

Remarque : dans le monde continu, on a :

$$\hat{f}(u, v) = \int \int f(x, y) \exp \{-i2\pi(ux + vy)\} dx dy$$

- $x$  et  $y$  sont les coordonnées spatiales des pixels de l'image  $f(x, y)$
- $u$  et  $v$  sont les coordonnées fréquentielles des frequels (frequels = « frequency elements » = les pixels dans le plan de Fourier) de  $\hat{f}(u, v)$ .
- La TFD inverse s'écrit :

$$f(x, y) = \frac{1}{MN} \sum_{u=0}^{M-1} \sum_{v=0}^{N-1} \hat{f}(u, v) \exp \{i2\pi(ux/M + vy/N)\}$$

Même remarque :

$$f(x, y) = \int \int \hat{f}(u, v) \exp \{i2\pi(ux + vy)\} du dv$$

- $\hat{f}(0,0) =$  « composante continu » (vient de l'électronique) = intégrale (somme dans le monde discret) de  $f(x, y)$
- Même si  $f(x, y)$  est réelle,  $\hat{f}(u, v)$  est a priori complexe.
- On peut donc a priori exprimer  $\hat{f}(u, v)$  comme :

$$\hat{f}(u, v) = |\hat{f}(u, v)| \exp \{i\phi(u, v)\}$$

où  $|\hat{f}(u, v)|$  est le module de  $\hat{f}(u, v)$  et  $\phi(u, v)$  son argument.

$$|\hat{f}(u, v)| = \sqrt{Re^2(\hat{f}(u, v)) + Im^2(\hat{f}(u, v))}$$

$$\phi(u, v) = \arctan \frac{Im(\hat{f}(u, v))}{Re(\hat{f}(u, v))}$$

- Densité spectrale :

$$|\hat{f}(u, v)|^2 = Re^2(\hat{f}(u, v)) + Im^2(\hat{f}(u, v))$$

- Quelques propriétés de la TFD

- $f$  réelle  $\Rightarrow Re(\hat{f})$  paire et  $Im(\hat{f})$  impaire

- Et :  $|\hat{f}(u, v)| = |\hat{f}(-u, -v)|$  module toujours paire  
 $\Rightarrow$  Densité spectrale centro-symétrique

- $f$  paire  $\Rightarrow Im(\hat{f}) = 0$

- La TFD est circulaire (i.e. périodique de période  $M$  en  $u$  et de période  $N$  en  $v$ )

- La TFD inverse aussi (de période  $M$  en  $x$  et  $N$  en  $y$ )  
 $\Rightarrow$  l'image obtenue par TFD inverse est périodisée !

- Ces deux derniers points : car les images et leurs TFD sont échantillonnées.

Échantillonnage dans le plan direct (respectivement dans le plan de Fourier)  $\Leftrightarrow$  périodisation dans le plan de Fourier (respectivement dans le plan direct).

- Calculer la TFD sous Matlab/Octave : en fait calcul d'une FFT (*Fast Fourier Transform*) :

- $\gg \hat{f} = \text{fft2}(f)$

- Mais la FFT produit un décalage de  $(M/2, N/2)$   $\Rightarrow$  *fftshift* sous Matlab/Octave pour réordonner.



- Quand on va devoir placer l'image initiale dans un tableau plus grand pour le filtrage, on utilisera une syntaxe plus complète pour la FFT :

```
>>  $\hat{f} = \text{fft2}(f, P, Q)$ 
```

où  $P$  et  $Q$  plus grands que  $M$  et  $N$  (*zero padding*).

- Module de  $\hat{f}(u, v)$  obtenu avec la commande **abs** :

```
>>  $mod = \text{abs}(\hat{f})$ 
```

- Visualiser |FFT| correctement (*frequel* central au centre du tableau visualisé, pas dans les coins) :

```
>>  $\text{imagesc}(\text{abs}(\text{fftshift}(\text{fft2}(f))))$ 
```

- Pour mieux voir (dynamique souvent limitée par rapport à la dynamique de la TF) :

```
>>  $\text{imagesc}((\text{abs}(\text{fftshift}(\text{fft2}(f))))^0.5)$ 
```

- Opération inverse à **fftshift** : **ifftshift**, ainsi :

```
>>  $\hat{f} = \text{ifftshift}(\text{fftshift}(\hat{f}))$ 
```

- Pour calculer la phase (ou argument) de  $\hat{f}$  : **atan2(Im(f),Re(f))**, qui est un tableau d'angles entre  $-\pi$  et  $\pi$ . Autrement dit :

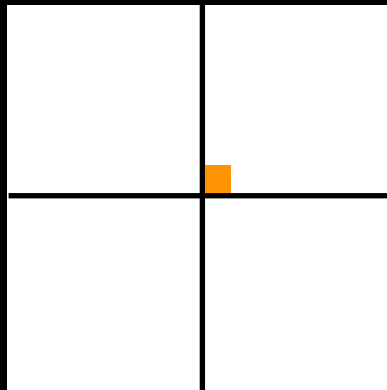
>>  $phi = atan2(imag(\hat{f}), real(\hat{f}))$

ou plus directement avec *angle* (ou même *arg*) :

>>  $phi = angle(\hat{f})$

(Et on a donc :  $\hat{f} = abs(\hat{f}) \times exp(i * angle(\hat{f}))$ )

- Attention, pour la TFD : le centre se situe ici  $[M/2+1, N/2+1]$  si  $M$  et  $N$  sont paires :



(si nb impairs ( $M$  ou  $N$ ) :  $floor(M/2)+1, floor(N/2)+1$ )

- La FFT inverse s'obtient grâce à *ifft2* :

>>  $f = ifft2(\hat{f})$

- Attention : *fft2* convertit au passage en classe « double »...

$f$  de type *uint8*  $\rightarrow$   $\hat{f}$  de type *double* (valeurs réelles en double précision, mais entre 0.0 et 255.0)

=> pour éviter les problèmes : convertir dès le début les images en réels double précision entre 0.0 et 1.0 !

- Unités dans le plan de Fourier :

- image de longueur  $L=N \Delta x$ , avec  $N$  le nb linéaire de pixels et  $\Delta x$  la taille du pixel

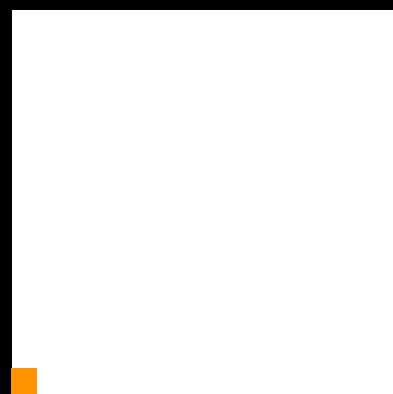
=> pas en fréquence  $\Delta u = 1/L = 1/(N \Delta x)$ , en  $u$  — et  $\Delta v = 1/(N \Delta y)$  en  $v$ ... mais normalement  $\Delta x=\Delta y$  !

=> vecteur de fréquences spatiales  $u$  (ou  $v$ ) :  
 $u=1/(N\Delta x) [-N/2...0...N/2-1]$

=> plus grande (haute!) fréquence spatiale disponible =  $1/(N\Delta x) \times N/2 = 1/2 1/\Delta x$



→  
TF



$$\Delta x=L/N$$
$$L = N \Delta x = N L/N$$

$$\Delta u=1/L$$
$$N \Delta u = N/L = 1/\Delta x$$

- Exemple sous Matlab :

—> FFT bidimensionnelle d'une sinusoïde :

```
>> Tx=20;    —> période de 20 pixels (tôle ondulée)
>> x=0:99;
>> whos x    —> vecteur de 100 valeurs de 0 à 99
>> I = ones(100,1) * (1 + cos(2*pi*x/Tx));
>> imagesc(I), colorbar
```

(>> *improfile* sous Matlab, sinon un *plot* pour vérifier la sinusoïde selon l'axe des x)

```
>> Ichap = fft2(I);
>> whos Ichap
>> figure
>> subplot(1,2,1), imagesc(I), title('Sinusoïde'),
colorbar, axis('square')
>> subplot(1,2,2), imagesc(abs(fftshift(Ichap))), title('|
FFT(Sinusoïde)|'), colorbar, axis('square')
```

Remarque : ici, la fonction cosinus étant paire, la partie imaginaire de sa TF est nulle, et donc on aurait pu représenter de manière équivalente la partie réelle.

- **Exercice 1** : Reprendre l'exemple ci-dessus. Décaler la sinusoïde de 7.5 pixels. Que se passe-t-il au niveau (du module) de la TF ?

```

1 clear
2 close all
3
4 % sinsusoïde
5 dim=100; % dimension linéaire de l'image
6 Dx=1; % pas (taille du pixel)
7 x=0:Dx:(dim-1)*Dx; % vecteur des x
8 whos x
9 y=x; % vecteur des y
10
11 Tx=20; % période de la sinusoïde
12 I=ones(dim,1)*(1+cos(2*pi*x/Tx));
13 whos I % sinusoïde (en fait un cosinus) selon x,
14 % de période Tx et évoluant de 0 à 2
15
16 figure(1), colormap('gray')
17
18 subplot(3,2,1), imagesc(x,y,I)
19 title('Sinusoïde(x,y)'), xlabel('x'), ylabel('y'), colorbar, axis('square')
20
21 subplot(3,2,3), plot(x,I(dim/2+1,:)), axis('square')
22 title('Sinusoïde(x)'), xlabel('x'), ylabel('sin(2*pi*x/Tx)')
23
24 subplot(3,2,5), plot(y,I(:,dim/2+1)), axis('square')
25 title('Sinusoïde(y)'), xlabel('y'), ylabel('constante')
26

```

```

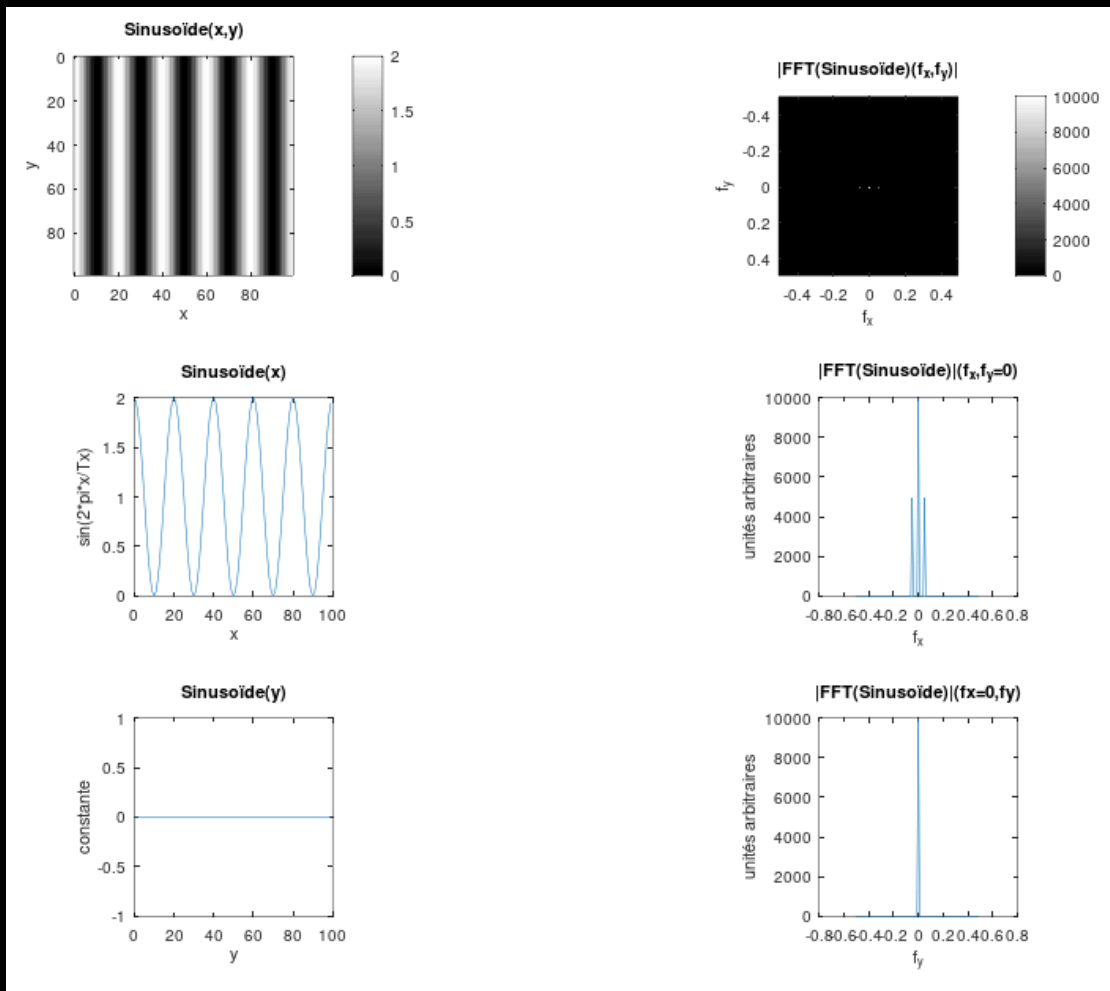
27 % FFT(sinusoïde)
28 Ichap=fft2(I); % FFT(image)
29 whos Ichap
30 Ichapmod=abs(fftshift(Ichap));
31 whos Ichapmod % module de FFT(image)
32
33 fx=1/(dim*Dx)*(-dim/2:dim/2-1); fy=fx;
34 % vecteurs des fréquences spatiales
35
36 subplot(3,2,2), imagesc(fx,fy,Ichapmod)
37 title('|FFT(Sinusoïde)(f_x,f_y)|'), xlabel('f_x'), ylabel('f_y')
38 colorbar, axis('square')
39
40 subplot(3,2,4), plot(fx,Ichapmod(dim/2+1,:)), axis('square'),
41 title('|FFT(Sinusoïde)|(f_x,f_y=0)|'), xlabel('f_x'), ylabel('unités arbitraires')
42
43 subplot(3,2,6), plot(fy,Ichapmod(:,dim/2+1)), axis('square')
44 title('|FFT(Sinusoïde)|(f_x=0,f_y)|'), xlabel('f_y'), ylabel('unités arbitraires')
45

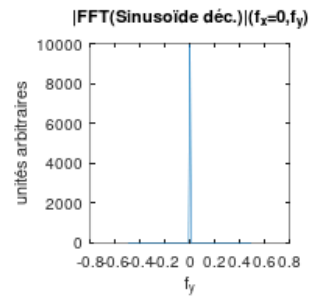
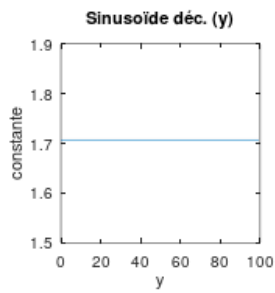
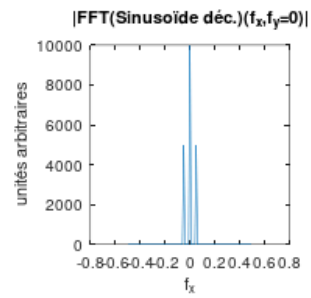
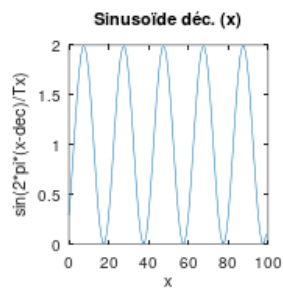
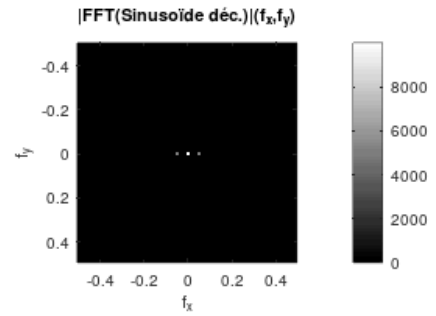
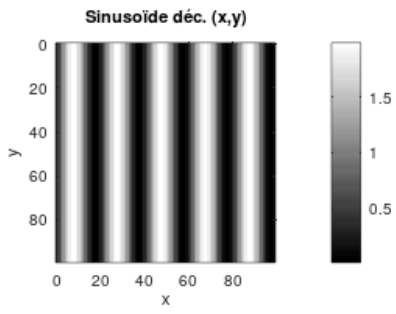
```

```

46 % cas de la sinusoïde décalée
47 dec=7.5;
48 Idec=ones(dim,1)*(1+cos(2*pi*(x-dec)/Tx));
49 Idecchap=fft2(Idec);
50 Idecchapmod=abs(fftshift(Idecchap));
51
52 figure(2), colormap('gray')
53
54 subplot(3,2,1), imagesc(x,y,Idec)
55 colorbar, axis('square')
56 title('Sinusoïde déc. (x,y)'), xlabel('x'), ylabel('y')
57
58 subplot(3,2,2), imagesc(fx,fy,Idecchapmod)
59 axis('square'), colorbar
60 title('|FFT(Sinusoïde déc.)|(f_x,f_y)'), xlabel('f_x'), ylabel('f_y')
61
62 subplot(3,2,3), plot(x,Idec(dim/2+1,:))
63 axis('square')
64 title('Sinusoïde déc. (x)'), xlabel('x'), ylabel('sin(2*pi*(x-dec)/Tx)')
65
66 subplot(3,2,4), plot(fx,Idecchapmod(dim/2+1,:))
67 axis('square')
68 title('|FFT(Sinusoïde déc.)(f_x,f_y=0)|')
69 xlabel('f_x'), ylabel('unités arbitraires')
70
71 subplot(3,2,5), plot(y,Idec(:,dim/2+1))
72 axis('square')
73 title('Sinusoïde déc. (y)'), xlabel('y'), ylabel('constante')
74
75 subplot(3,2,6), plot(fy,Ichapmod(:,dim/2+1))
76 axis('square')
77 title('|FFT(Sinusoïde déc.)|(f_x=0,f_y)')
78 xlabel('f_y'), ylabel('unités arbitraires')

```





## Autres exemples communs/utiles

—> Porte bidimensionnelle

$$f(x, y) = \Pi\left(\frac{x}{a}\right) \Pi\left(\frac{y}{b}\right)$$

TF(porte en x) = sinc(u a) ; TF(porte en y) = sinc(v b)

$$\hat{f}(u, v) = \text{sinc}(u a) \text{sinc}(v b)$$

Remarque 1 :  $\Pi(x/a)$  et  $\Pi(y/b)$  sont des fonctions séparables en x et en y => pas de convolution dans le plan de Fourier ici !

Remarque 2 : Les portes en x et y peuvent décrire le fait qu'une image est de taille a x b (en pixels).

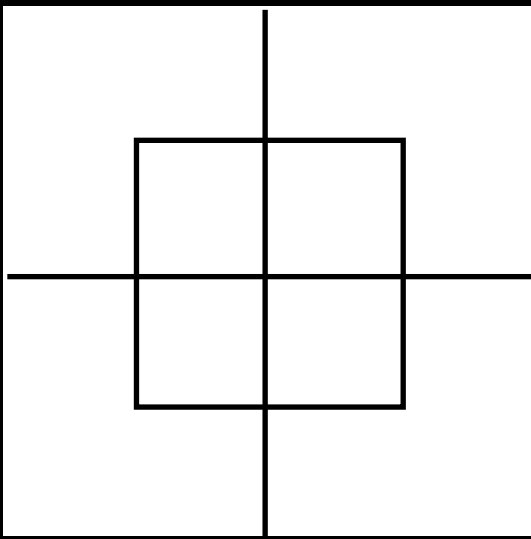
Remarque 3 :  $\Pi(x/a)$  = porte de largeur a en x.  
sinc(u a) de largeur inversement prop. à a.

Quand a augmente, le pic du *sinc* augmente, mais sa largeur diminue => plus la porte est large, plus le *sinc* dans Fourier est étroit.

sous Matlab/Octave :

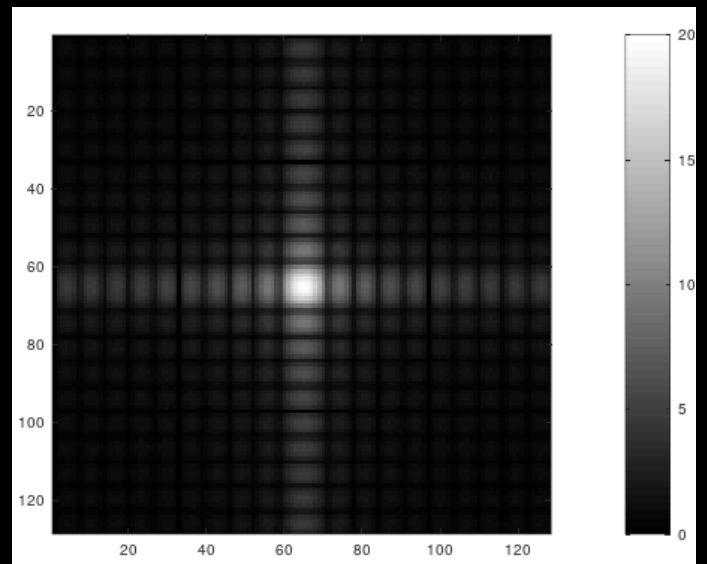
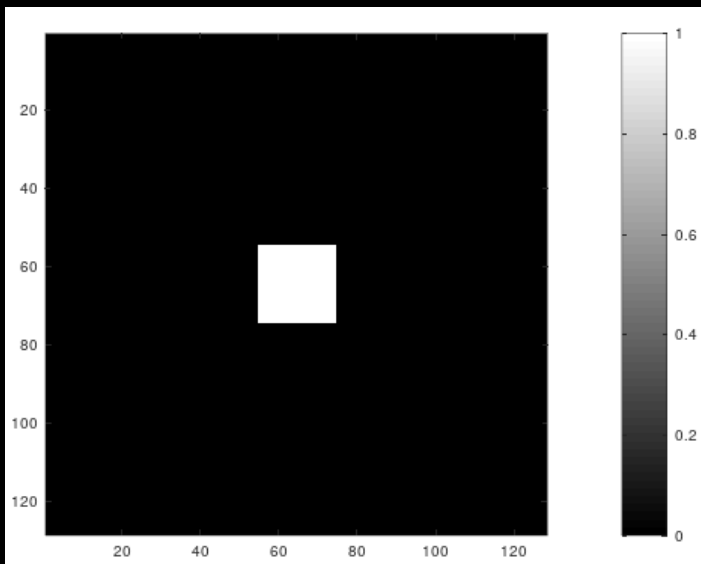
```
>> dim=128; a=20; b=20;  
>> P=zeros(dim,dim);
```





1      dim/2   dim/2+1   dim

```
>> P(dim/2-a/2+1:dim/2+a/2,dim/2-b/2+1:dim/2+b/2)=1;
>> colormap(gray)
>> imagesc(P), axis('square')
>> Pchap=fft2(P);
>> imagesc((abs(fftshift(Pchap))).^0.5), colorbar
```



**Exercice 2** : Reprendre l'exemple précédent et augmenter/diminuer  $a$  et  $b$ . Que remarque-t-on ? (Prendre par exemple 3 valeurs : 20, 10, 40) (Mettre aussi les bonnes échelles de fréquences spatiales dans Fourier...)

```

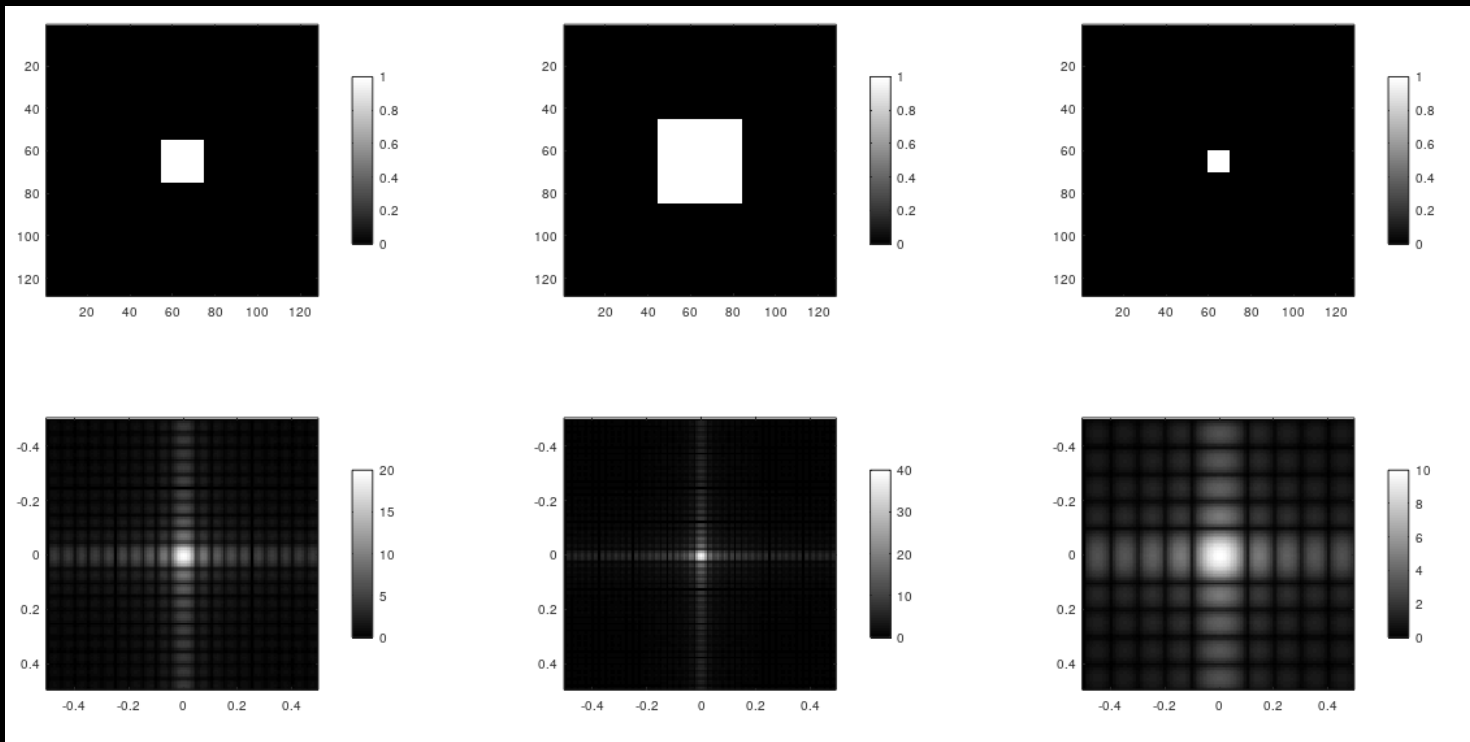
1 clear
2 close all
3
4 dim=128; fx=1/(dim*1)*(-dim/2:dim/2-1); fy=fx;
5
6 % 1er exemple
7 P20=zeros(dim,dim); a=20; b=20;
8 P20(dim/2-a/2+1:dim/2+a/2, dim/2-b/2+1:dim/2+b/2)=1.0;
9 Pchapmod20=abs(ffshift(ff2(P20)));
10
11 % 2me exemple
12 P40=zeros(dim,dim); a=40; b=40;
13 P40(dim/2-a/2+1:dim/2+a/2, dim/2-b/2+1:dim/2+b/2)=1.0;
14 Pchapmod40=abs(ffshift(ff2(P40)));
15
16 % 3me exemple
17 P10=zeros(dim,dim); a=10; b=10;
18 P10(dim/2-a/2+1:dim/2+a/2, dim/2-b/2+1:dim/2+b/2)=1.0;
19 Pchapmod10=abs(ffshift(ff2(P10)));
20

```

```

21 % figure finale
22 figure, colormap('gray')
23
24 subplot(2,3,1), imagesc(P20)
25 colorbar, axis('square')
26 title('Porte(x/20,y/20)'), xlabel('x'), ylabel('y')
27
28 subplot(2,3,2), imagesc(P40)
29 colorbar, axis('square')
30 title('Porte(x/40,y/40)'), xlabel('x'), ylabel('y')
31
32 subplot(2,3,3), imagesc(P10)
33 colorbar, axis('square')
34 title('Porte(x/10,y/10)'), xlabel('x'), ylabel('y')
35
36 subplot(2,3,4), imagesc(fx,fy,Pchapmod20.^5)
37 colorbar, axis('square')
38 title('sqrt(|FFT(Porte_{20})|(f_x,f_y))'), xlabel('f_x'), ylabel('f_y')
39
40 subplot(2,3,5), imagesc(fx,fy,Pchapmod40.^5)
41 colorbar, axis('square')
42 title('sqrt(|FFT(Porte_{40})|(f_x,f_y))'), xlabel('f_x'), ylabel('f_y')
43
44 subplot(2,3,6), imagesc(fx,fy,Pchapmod10.^5)
45 colorbar, axis('square')
46 title('sqrt(|FFT(Porte_{10})|(f_x,f_y))'), xlabel('f_x'), ylabel('f_y')

```



$$f_x = \frac{1}{N\Delta x} \left( -\frac{N}{2} \dots \frac{N}{2} - 1 \right)$$

étalonnage des fréquences :

$$-\frac{N}{2} \quad \neq \quad \frac{N}{2} - 1 \quad \times \frac{1}{N\Delta x}$$

index des px :

The diagram shows a horizontal bar representing a discrete signal. Below the bar, four indices are marked: 1, N/2, N/2+1, and N. A dashed vertical line is drawn at the center, corresponding to the index N/2.

—> Gaussienne bidimensionnelle

$$f(x, y) = \exp \left\{ -\pi \frac{x^2}{a^2} \right\} \exp \left\{ -\pi \frac{y^2}{b^2} \right\}$$

$$\hat{f}(u, v) = a \exp \left\{ -\pi (a u)^2 \right\} b \exp \left\{ -\pi (b v)^2 \right\}$$

sous Matlab/Octave :

```
>> dim=128; sigma=10;  
>> G = fspecial('gaussian', dim, sigma);  
>> ...
```

**Exercice 3** : Comme l'exercice 2 mais avec une Gaussienne...

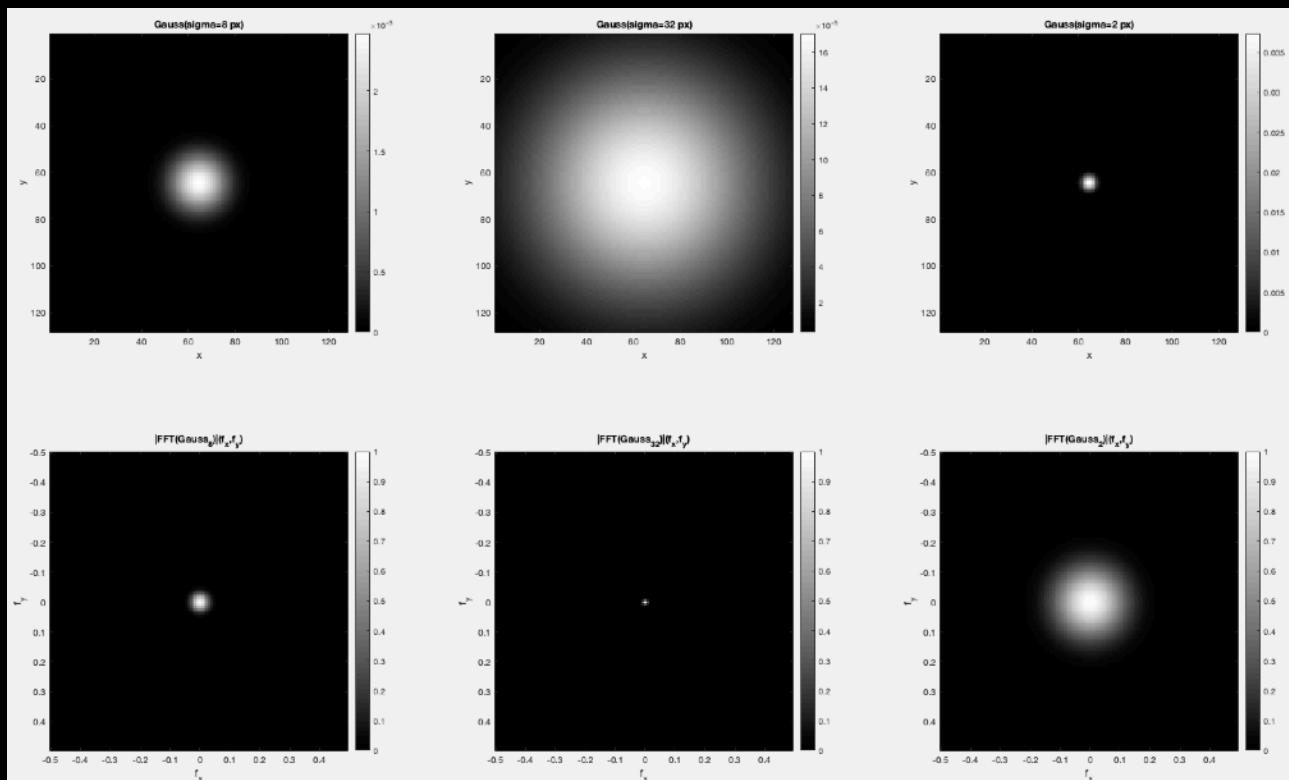
(En prenant trois valeurs de sigma et toujours en étalonnant correctement les fréquences spatiales.)

```
1 clear  
2 close all  
3 pkg load image  
4  
5 dim=128; fx=1/(dim*1)*(-dim/2:dim/2-1); fy=fx;  
6  
7 % 1er exemple  
8 a=8;  
9 G8=fspecial('gaussian',dim,a);  
10 Gchapmod8=abs(fftshift(fft2(G8)));  
11  
12 % 2me exemple  
13 a=32;  
14 G32=fspecial('gaussian',dim,a);  
15 Gchapmod32=abs(fftshift(fft2(G32)));  
16  
17 % 3me exemple  
18 a=2;  
19 G2=fspecial('gaussian',dim,a);  
20 Gchapmod2=abs(fftshift(fft2(G2)));  
21
```

```

22 % figure finale
23 figure, colormap('gray')
24
25 subplot(2,3,1), imagesc(G8)
26 colorbar, axis('square')
27 title('Gauss(sigma=8 px)'), xlabel('x'), ylabel('y')
28
29 subplot(2,3,2), imagesc(G32)
30 colorbar, axis('square')
31 title('Gauss(sigma=32 px)'), xlabel('x'), ylabel('y')
32
33 subplot(2,3,3), imagesc(G2)
34 colorbar, axis('square')
35 title('Gauss(sigma=2 px)'), xlabel('x'), ylabel('y')
36
37 subplot(2,3,4), imagesc(fx,fy,Gchapmod8)
38 colorbar, axis('square')
39 title('|FFT(Gauss_{8})|(f_x,f_y)'), xlabel('f_x'), ylabel('f_y')
40
41 subplot(2,3,5), imagesc(fx,fy,Gchapmod32)
42 colorbar, axis('square')
43 title('|FFT(Gauss_{32})|(f_x,f_y)'), xlabel('f_x'), ylabel('f_y')
44
45 subplot(2,3,6), imagesc(fx,fy,Gchapmod2)
46 colorbar, axis('square')
47 title('|FFT(Gauss_{2})|(f_x,f_y)'), xlabel('f_x'), ylabel('f_y')

```



—> Dirac :

$$\delta(x,y) \xrightarrow{TF} \mathbf{1}(u,v)$$

—> Continu :

$$a \mathbf{1}(x,y) \xrightarrow{TF} a \delta(u,v)$$

—> Peigne de Dirac :

$$\underline{\text{III}}(a)(x) \cdot \underline{\text{III}}(b)(y) \xrightarrow{TF} \underline{\text{III}}(1/a)(u) \cdot \underline{\text{III}}(1/b)(v)$$

La fonction *Sha* de période  $a$  en  $x$  ( $\underline{\text{III}}(a)(x)$ ) et de période  $b$  en  $y$  ( $\underline{\text{III}}(b)(y)$ ) décrit, notamment, l'échantillonnage d'une image (les pixels!)...

(on prend dans la suite  $\Delta y = \Delta x =$  taille du pixel)

$$\Rightarrow \text{image discrète}(x,y) = \text{image continue}(x,y) \cdot (\underline{\text{III}}(\Delta x)(x) \cdot \underline{\text{III}}(\Delta x)(y))$$

$$\Rightarrow DFT(\text{img discrète})(u,v) = DFT(\text{img continue})(u,v) * (\underline{\text{III}}(1/\Delta x)(u) \cdot \underline{\text{III}}(1/\Delta x)(v))$$

(où  $\cdot$  décrit le produit et  $*$  le produit de convolution)

Or :  $1/\Delta x =$  largeur de toute la *DFT*

Donc, on a : échantillonnage dans le plan direct  $\Rightarrow$  périodisation dans le plan de Fourier !



- Trois propriétés remarquables de la TF

—> Dilatation

$$f\left(\frac{x}{a}, \frac{y}{b}\right) \text{ — par TF } \rightarrow |a| |b| \hat{f}(a u, b v)$$

Ce qui est étroit dans l'espace direct est large dans l'espace de Fourier, et vice versa.

—> Translation

$$f(x + x_0, y + y_0) \text{ — par TF } \rightarrow \hat{f}(u, v) \exp\{-2i\pi(x_0 u + y_0 v)\}$$

car on a au passage...

$$f(x + x_0, y + y_0) = f(x, y) * \delta((x + x_0, y + y_0))$$

Remarque 1 : ceci constitue un excellent moyen de **décaler** ou **interpoler** une image... (simple multiplication de la TF par un terme de phase.)

Remarque 2 : le module est inchangé.

—> Convolution

$$f(x, y) \cdot g(x, y) \text{ — TF } \rightarrow \hat{f}(u, v) * \hat{g}(u, v)$$

$$f(x, y) * g(x, y) \text{ — TF } \rightarrow \hat{f}(u, v) \cdot \hat{g}(u, v)$$

C'est la propriété que l'on va utiliser pour le filtrage (et qui est au cœur de la déconvolution).

**Exercice 4** : Décaler la Gaussienne bidimensionnelle de l'exercice précédent (avec  $\sigma=10$  px) de 10,4 px en x et -10,4 px en y, par TF.

Étapes :

- (1) création de la Gaussienne (plan direct)
- (2) calculer le terme de phase (plan de Fourier)
- (3) appliquer le terme de phase (plan de Fourier)
- (4) revenir dans le plan direct

L'étape (2) revient à écrire correctement le terme de phase  $\exp(-2 i \pi (x_0 u + y_0 v))$  dans Fourier... terme qui doit être un tableau de mêmes dimensions que l'image de départ (et donc sa TF et donc la phase de cette TF). Ici  $x_0$  et  $y_0$  sont les décalages respectivement en x et en y, et ce sont des nombres, pas des tableaux. Par contre,  $u$  et  $v$  doivent décrire toutes les valeurs des fréquences dans le plan de Fourier... Ce sont donc des tableaux de mêmes dimensions que l'image de départ. Par exemple :  $u = \text{ones}(\text{dim}, 1) * f_x$ , où :  $f_x = 1 / (\text{dim} * 1) * (-\text{dim}/2 : \text{dim}/2 - 1)$ .

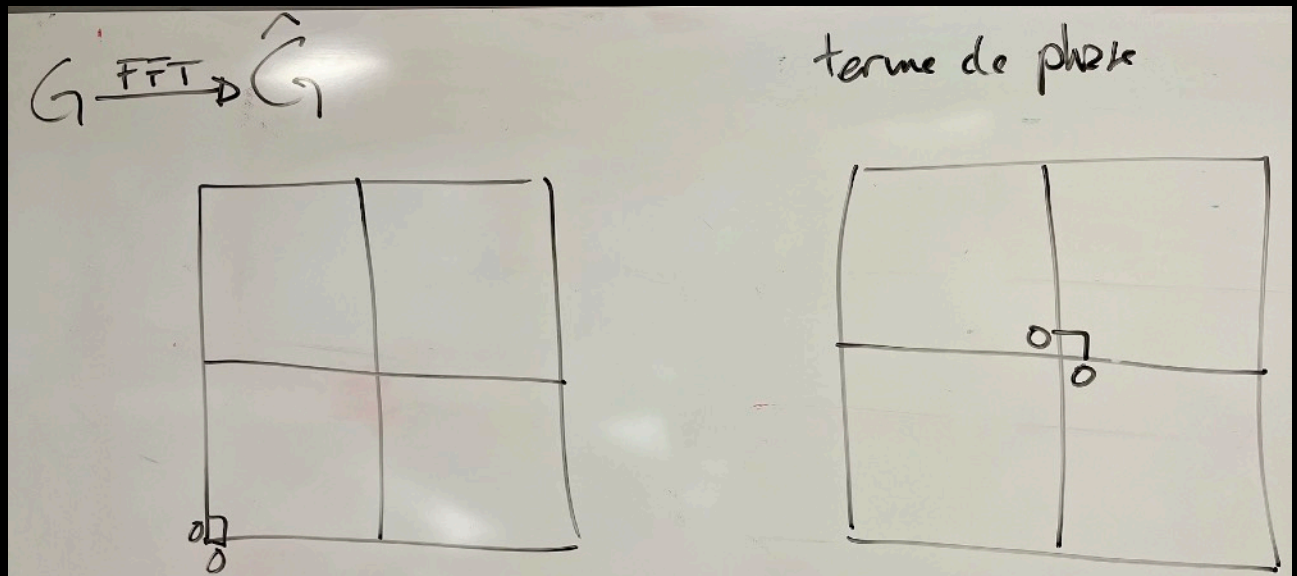
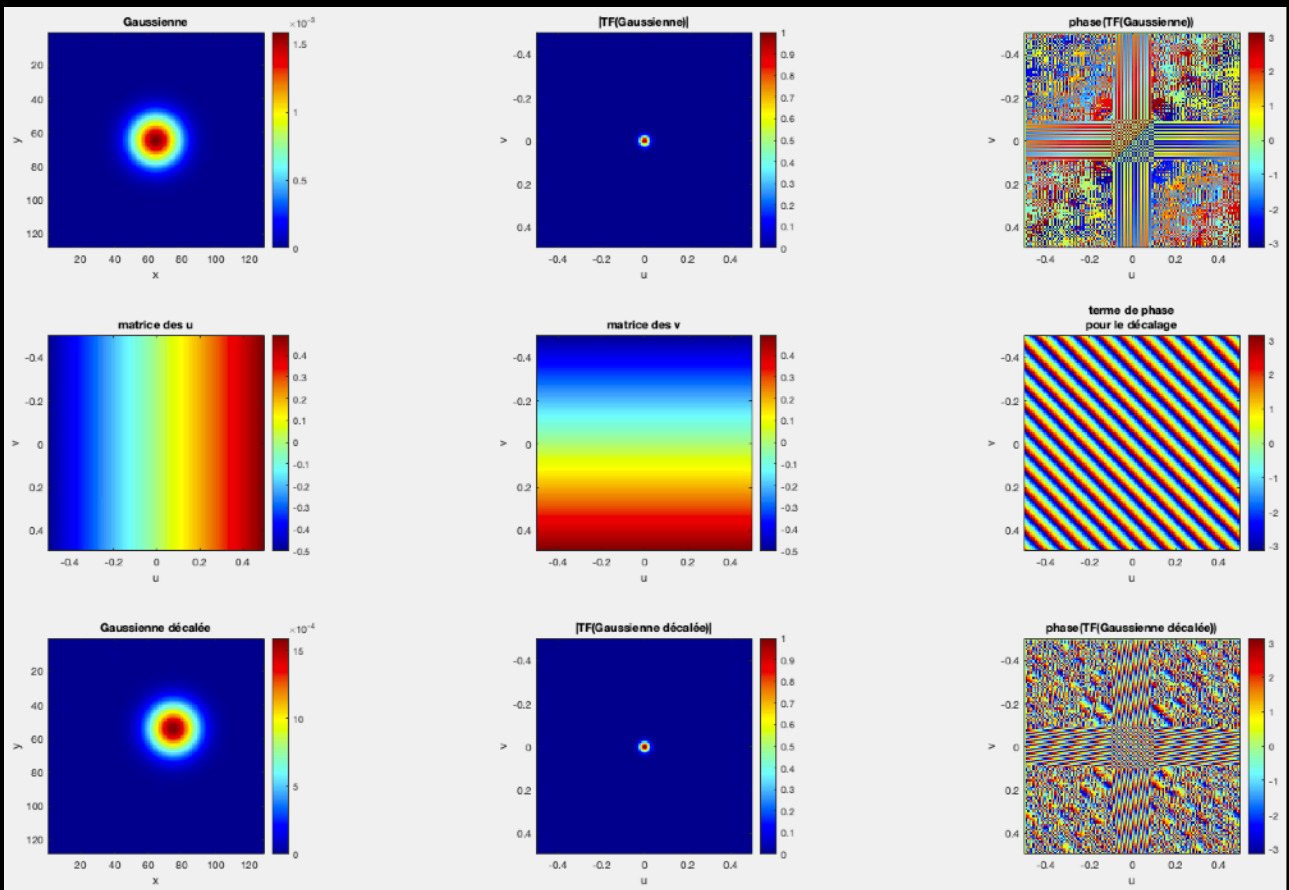
Attention : on est ici dans le plan de la **FFT**, avec son décalage d'un demi-tableau à droite et vers le haut, il faut donc utiliser *fftshift* de manière à avoir les fréquences des tableaux de  $u$  et de  $v$  en face de celles de la FFT de l'image.



```

1  % préliminaires
2  clear
3  close all
4  %pkg load image
5
6  dim=128; % taille des images
7  fx=1/(dim*1)*(-dim/2:dim/2-1); fy=fx; % vecteur des fréquences :
8  % 1/(N Δx)*(-N/2 .. 0 .. N/2-1)
9  % on peut aussi écrire :
10 % fx=((0:dim-1)-dim/2)/dim; fy=fx;
11
12 % Gaussienne
13 a=10;
14 G=fspecial('gaussian',dim,a); % Gaussienne
15 Gchap = fft2(G); % TF(Gaussienne)
16
17 % terme de phase
18 decx= 10.4; % décalage en x
19 decy=-10.4; % décalage en y
20 uo=ones(dim,1)*fx; % matrice des u (par colonne)
21 vo=uo'; % matrice des v (par ligne)
22 u=fftshift(uo); % car le plan de la FFT est "shifté"
23 v=fftshift(vo); % d'un demi-tableau en u et en v
24 decfou=exp(-complex(0,1)*2*pi*(u*decx+v*decy)); % TF(décalage) ; complex(0,1)=i
25
26 % décalage
27 Gdecchap = Gchap.*decfou; % TF(Gaussienne décalée)
28 Gdec=real(ifft2(Gdecchap)); % retour dans le plan direct
29
30 % figure finale
31 figure(1), colormap('jet') % colormap "jet" (voir help colormap)
32
33 subplot(3,3,1), imagesc(G)
34 colorbar, axis('square')
35 title('Gaussienne'), xlabel('x'), ylabel('y')
36
37 subplot(3,3,2), imagesc(fx, fy, abs(fftshift(Gchap)))
38 colorbar, axis('square')
39 title('|TF(Gaussienne)|'), xlabel('u'), ylabel('v')
40
41 subplot(3,3,3), imagesc(fx, fy, angle(fftshift(Gchap)))
42 colorbar, axis('square')
43 title('phase(TF(Gaussienne))'), xlabel('u'), ylabel('v')
44
45 subplot(3,3,4), imagesc(fx, fy, uo)
46 colorbar, axis('square')
47 title('matrice des u'), xlabel('u'), ylabel('v')
48
49 subplot(3,3,5), imagesc(fx, fy, vo)
50 colorbar, axis('square')
51 title('matrice des v'), xlabel('u'), ylabel('v')
52
53 subplot(3,3,6), imagesc(fx, fy, angle(fftshift(decfou)))
54 colorbar, axis('square')
55 title({'terme de phase'; 'pour le décalage'}), xlabel('u'), ylabel('v')
56
57 subplot(3,3,7), imagesc(Gdec)
58 colorbar, axis('square')
59 title('Gaussienne décalée'), xlabel('x'), ylabel('y')
60
61 subplot(3,3,8), imagesc(fx, fy, abs(fftshift(Gdecchap)))
62 colorbar, axis('square')
63 title('|TF(Gaussienne décalée)|'), xlabel('u'), ylabel('v')
64
65 subplot(3,3,9), imagesc(fx, fy, angle(fftshift(Gdecchap)))
66 colorbar, axis('square')
67 title('phase(TF(Gaussienne décalée))'), xlabel('u'), ylabel('v')

```



## (2) Filtrage dans le plan (complexe) de Fourier

- On utilise le théorème de convolution de la TF :

$$f * h \xrightarrow{TF} \hat{f} \cdot \hat{h}$$

$$f \cdot h \xrightarrow{TF} \hat{f} * \hat{h}$$

avec  $f$  = image,  $h$  = filtre  $\Rightarrow \hat{h}$  = fonction de transfert de  $h$

$h$  = filtre (et  $\hat{h}$  sert de masque dans le plan de Fourier)

L'idée ici est de modeler  $\hat{h}$  (à travers son module) afin de modifier la distribution des fréquences spatiales présentes dans l'image  $f$ .

- Filtrage passe-bas

On fait diminuer les valeurs de  $\hat{h}$  au fur et à mesure que l'on s'éloigne du centre  $(0,0)$  des fréquences spatiales, favorisant ainsi les plus basses fréquences en atténuant les plus hautes.

Cette distribution peut-être brutale (on « coupe » alors les fréquences plus hautes qu'une certaine fréquence **de coupure** à l'aide d'une porte de largeur  $(2 u_c, 2 v_c)$  autour du frequel  $(0,0)$ , où :  $u_c$  est la fréquence de coupure en  $u$ ,  $v_c$  celle en  $v$ .

Applications : supprimer les détails fins, réduire le bruit.

Remarque : on prend en général des fonctions de transfert  $\hat{h}$  autour du frequel  $(0,0)$ .

Exemple : revisite du filtrage Gaussien (où l'on cherche à faire le filtrage Gaussien du chapitre 3 mais en passant par Fourier...)

```
>> dim=128;
>> I=zeros(dim,dim);
>> I(:,1:dim/2) = 0.6;
>> figure, colormap(gray)
>> subplot(3,2,1), imagesc(I), colorbar, title('img')
—
>> Ichap = fft2(I);
>> whos Ichap;
>> subplot(3,2,2), imagesc(abs(fftshift(Ichap)).^0.5),
colorbar, title('|FFT(image)|')
—
>> h = fspecial('gaussian', dim, 0.849);
>> subplot(3,2,3), imagesc(h.^0.5), colorbar,
title('Gauss')
—
>> hchap = fft2(h);
>> whos hchap;
>> subplot(3,2,4), imagesc(abs(fftshift(hchap)).^0.5),
colorbar, title('|FFT(Gauss)|')
—
```

```
>> lchapfilt = hchap.*lchap;
>> whos lchapfilt
>> subplot(3,2,6),
imagesc(abs(fftshift(lchapfilt)).^0.5), colorbar, title('|
FFT(image filtrée)|')
```

```
>> lfilt = ifftshift(ifft2(lchapfilt));
>> whos(lfilt)
>> subplot(3,2,5), imagesc(real(lfilt)), colorbar,
title('image filtrée')
```

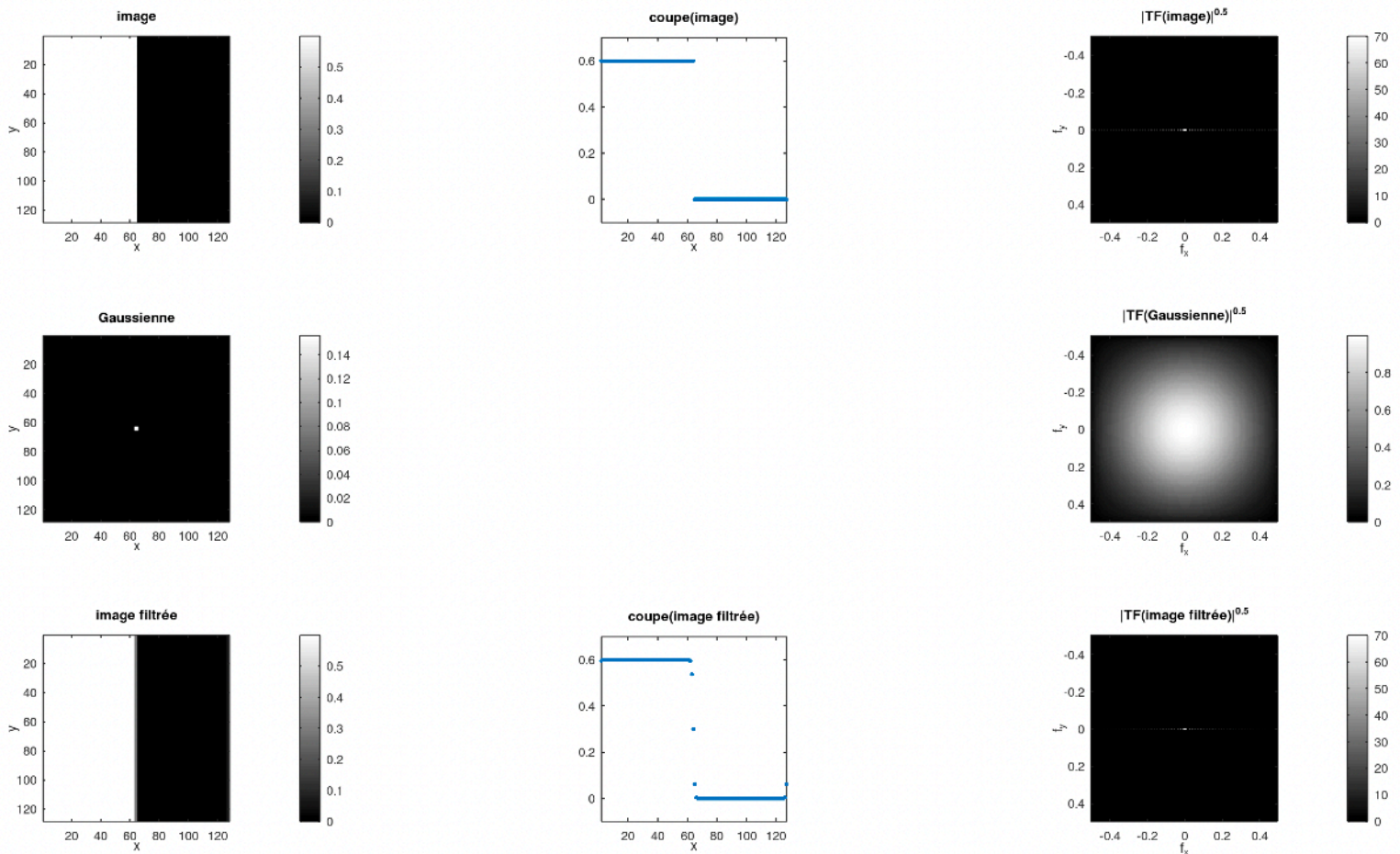
```
1 clear
2 close all
3 pkg load image
4
5 % image
6 dim=128; I=zeros(dim,dim); I(:,1:dim/2)=0.6;
7 fx=((0:dim-1)-dim/2)/dim; fy=fx;
8
9 figure, colormap('gray')
10
11 subplot(3,3,1), imagesc(I)
12 colorbar, axis('square')
13 title('image'), xlabel('x'), ylabel('y')
14
15 subplot(3,3,2), plot(I(64,:),'.')
16 axis('square')
17 title('coupe(image)'), xlim([2,dim-1]), ylim([-1 .7]), xlabel('x')
18
19 % FFT(image)
20 Ichap=fft2(I); Ichapmod=abs(fftshift(Ichap));
21 subplot(3,3,3), imagesc(fx,fy,Ichapmod.^5)
22 colorbar, axis('square')
23 title('|TF(image)|^{0.5}'), xlabel('f_x'), ylabel('f_y')
24
25 % filtre
26 h=fspecial('gaussian',dim,.849);
27 subplot(3,3,4), imagesc(h)
28 colorbar, axis('square')
29 title('Gaussienne'), xlabel('x'), ylabel('y')
30
31 % => fct de transfert
32 hchap=fft2(h); hchapmod=abs(fftshift(hchap));
33 subplot(3,3,6), imagesc(fx,fy,hchapmod.^5)
34 colorbar, axis('square')
35 title('|TF(Gaussienne)|^{0.5}'), xlabel('f_x'), ylabel('f_y')
36
```



```

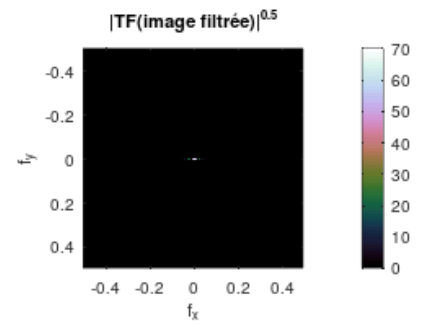
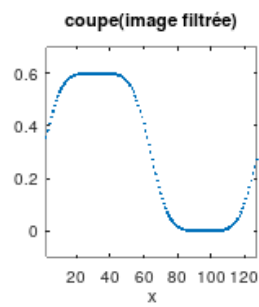
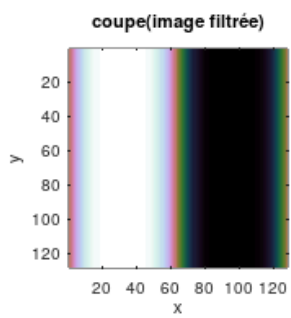
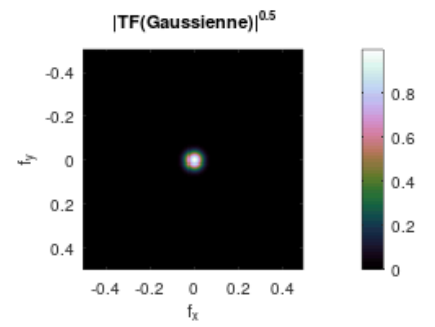
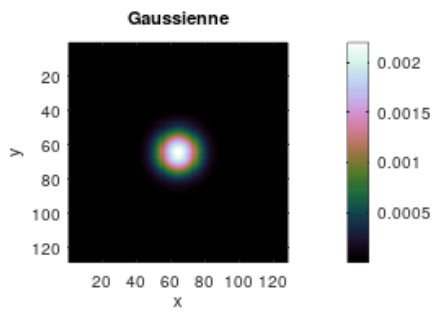
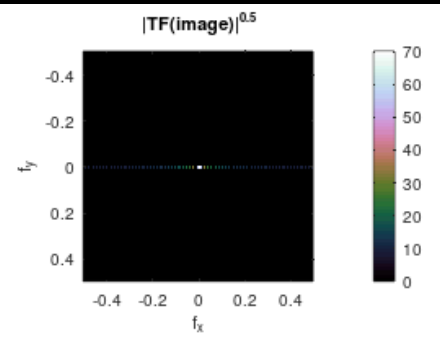
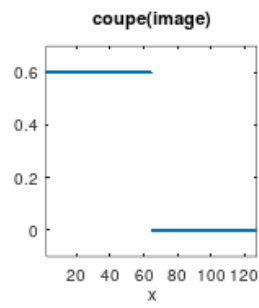
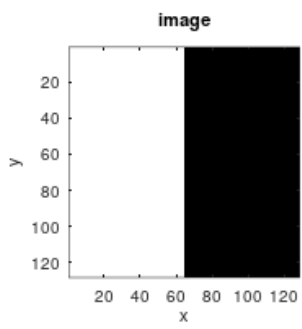
31 % => fct de transfert
32 hchap=fft2(h); hchapmod=abs(fftshift(hchap));
33 subplot(3,3,6), imagesc(fx,fy,hchapmod.^.5)
34 colorbar, axis('square')
35 title('|TF(Gaussienne)|^{0.5}'), xlabel('f_x'), ylabel('f_y')
36
37 % filtrage dans l'espace de Fourier
38 Ichapfilt=hchap.*Ichap; Ichapfiltmod=abs(fftshift(Ichapfilt));
39 subplot(3,3,9), imagesc(fx,fy,Ichapfiltmod.^.5)
40 colorbar, axis('square')
41 title('|TF(image filtrée)|^{0.5}'), xlabel('f_x'), ylabel('f_y')
42
43 % retour vers l'espace réel
44 Ifilt=ifftshift(ifft2(Ichapfilt));
45 subplot(3,3,7), imagesc(real(Ifilt))
46 axis('square'), colorbar
47 title('image filtrée'), xlabel('x'), ylabel('y')
48
49 subplot(3,3,8), plot(real(Ifilt(64,:)),'.')
50 axis('square'), xlim([2,dim-1]), ylim([-1 .7])
51 title('coupe(image filtrée)'), xlabel('x')

```



**Exercice 5bis** : Reprendre l'exemple ci-avant et diminuer la largeur de  $\hat{h}$  d'un facteur 10. Que se passe-t-il ?

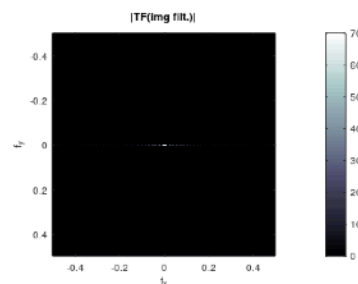
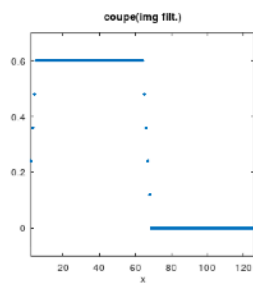
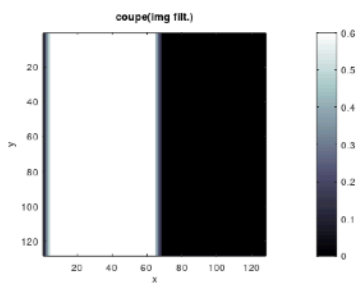
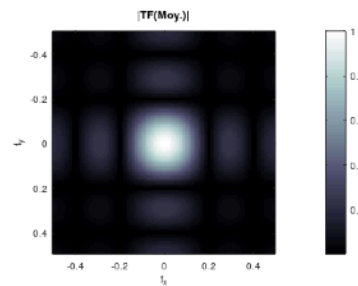
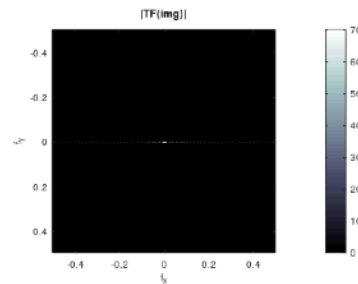
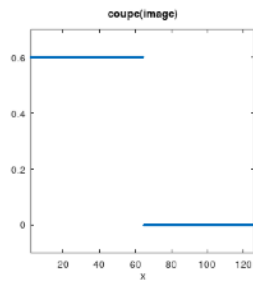
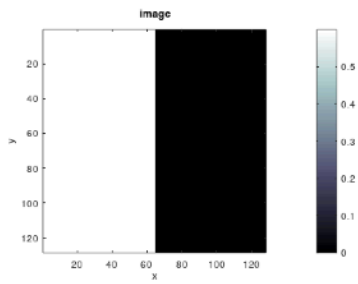
```
1 clear
2 close all
3 pkg load image
4
5 % image
6 dim=128; I=zeros(dim,dim); I(:,1:dim/2)=0.6;
7 fx=((0:dim-1)-dim/2)/dim; fy=fx;
8
9 figure, colormap('cubehelix')
10
11 subplot(3,3,1), imagesc(I)
12 colorbar, axis('square')
13 title('image'), xlabel('x'), ylabel('y')
14
15 subplot(3,3,2), plot(I(64,:),'.')
16 axis('square')
17 title('coupe(image)'), xlim([2,dim-1]), ylim([-0.1 .7]), xlabel('x')
18
19 % FFT(image)
20 Ichap=fft2(I); Ichapmod=abs(fftshift(Ichap));
21 subplot(3,3,3), imagesc(fx,fy,Ichapmod.^5)
22 colorbar, axis('square')
23 title('ITF(image)|^{0.5}'), xlabel('f_x'), ylabel('f_y')
24
25 % filtre
26 h=fspecial('gaussian',dim,.849*10);
27 subplot(3,3,4), imagesc(h)
28 colorbar, axis('square')
29 title('Gaussienne'), xlabel('x'), ylabel('y')
30
31 % => fct de transfert
32 hchap=fft2(h); hchapmod=abs(fftshift(hchap));
33 subplot(3,3,6), imagesc(fx,fy,hchapmod.^5)
34 colorbar, axis('square')
35 title('ITF(Gaussienne)|^{0.5}'), xlabel('f_x'), ylabel('f_y')
36
37 % filtrage dans l'espace de Fourier
38 Ichapfilt=hchap.*Ichap; Ichapfiltmod=abs(fftshift(Ichapfilt));
39 subplot(3,3,9), imagesc(fx,fy,Ichapfiltmod.^5)
40 colorbar, axis('square')
41 title('ITF(image filtrée)|^{0.5}'), xlabel('f_x'), ylabel('f_y')
42
43 % retour vers l'espace réel
44 Ifilt=ifftshift(ifft2(Ichapfilt));
45 subplot(3,3,7), imagesc(real(Ifilt))
46 axis('square'), colorbar
47 title('coupe(image filtrée)'), xlabel('x'), ylabel('y')
48
49 subplot(3,3,8), plot(real(Ifilt(64:)),'.')
50 axis('square'), xlim([2,dim-1]), ylim([-0.1 .7])
51 title('coupe(image filtrée)'), xlabel('x')
```





## Exercice 6 : Faire de même avec la moyenne glissante, en 3x3 puis 5x5.

```
1 clear
2 close all
3 pkg load image
4
5 % image
6 dim=128; I=zeros(dim,dim); I(:,1:dim/2)=0.6; % image = marche 0.6/0
7 fx=((0:dim-1)-dim/2)/dim; fy=fx; % étalonnage des fréquences
8
9 figure, colormap('bone') % colormap "bone" (vor help)
10
11 subplot(3,3,1), imagesc(I)
12 colorbar, axis('square')
13 title('image'), xlabel('x'), ylabel('y')
14
15 subplot(3,3,2), plot(I(dim/2,:),'.')
16 title('coupe(image)'), xlabel('x')
17 axis('square'), xlim([2,dim-2]), ylim([-1 .7])
18
19 % FFT(image)
20 Ichap=fft2(I); % FFT(image)
21 Ichapmod=abs(fftshift(Ichap)); % module réordonné
22 subplot(3,3,3), imagesc(fx,fy,Ichapmod.^5)
23 colorbar, axis('square')
24 title('|TF(img)|'), xlabel('f_x'), ylabel('f_y')
25
26 % filtre
27 nn=5; h=fspecial('average',nn); % moyenne glissante 3x3 ou 5x5
28 % on peut utiliser aussi ones(nn,nn).
29 % et on peut ensuite recentrer le filtre h dans un tableau dim*dim "à la main,
30 % ou utiliser la commande "padarray", mais ce n'est pas nécessaire puisque l'on
31 % pourra tout aussi bien faire ça au vol avec la commande FFT2.
32
33 % => fct de transfert
34 hchap=fft2(h,dim,dim); % masque=FFT(filtre)
35 hchapmod=abs(fftshift(hchap)); % module
36 subplot(3,3,6), imagesc(fx,fy,hchapmod)
37 colorbar, axis('square')
38 title('|TF(Moy.)|'), xlabel('f_x'), ylabel('f_y')
39
40 % filtrage dans l'espace de Fourier
41 Ichapfilt=Ichap.*hchap; % filtrage
42 Ichapfiltmod=abs(fftshift(Ichapfilt)); % module du résultat dans Fourier
43 subplot(3,3,9), imagesc(fx,fy,Ichapfiltmod.^5)
44 colorbar, axis('square')
45 title('|TF(img filt.)|'), xlabel('f_x'), ylabel('f_y')
46
47 % retour vers l'espace réel
48 Ifilt=real(ifft2(Ichapfilt)); % image filtrée
49 subplot(3,3,7), imagesc(Ifilt)
50 colorbar, axis('square')
51 title('coupe(img filt.)'), xlabel('x'), ylabel('y')
52
53 subplot(3,3,8), plot(Ifilt(64,:),'.')
54 title('coupe(img filt.)'), xlabel('x')
55 axis('square'), xlim([2,dim-2]), ylim([-1 .7])
```

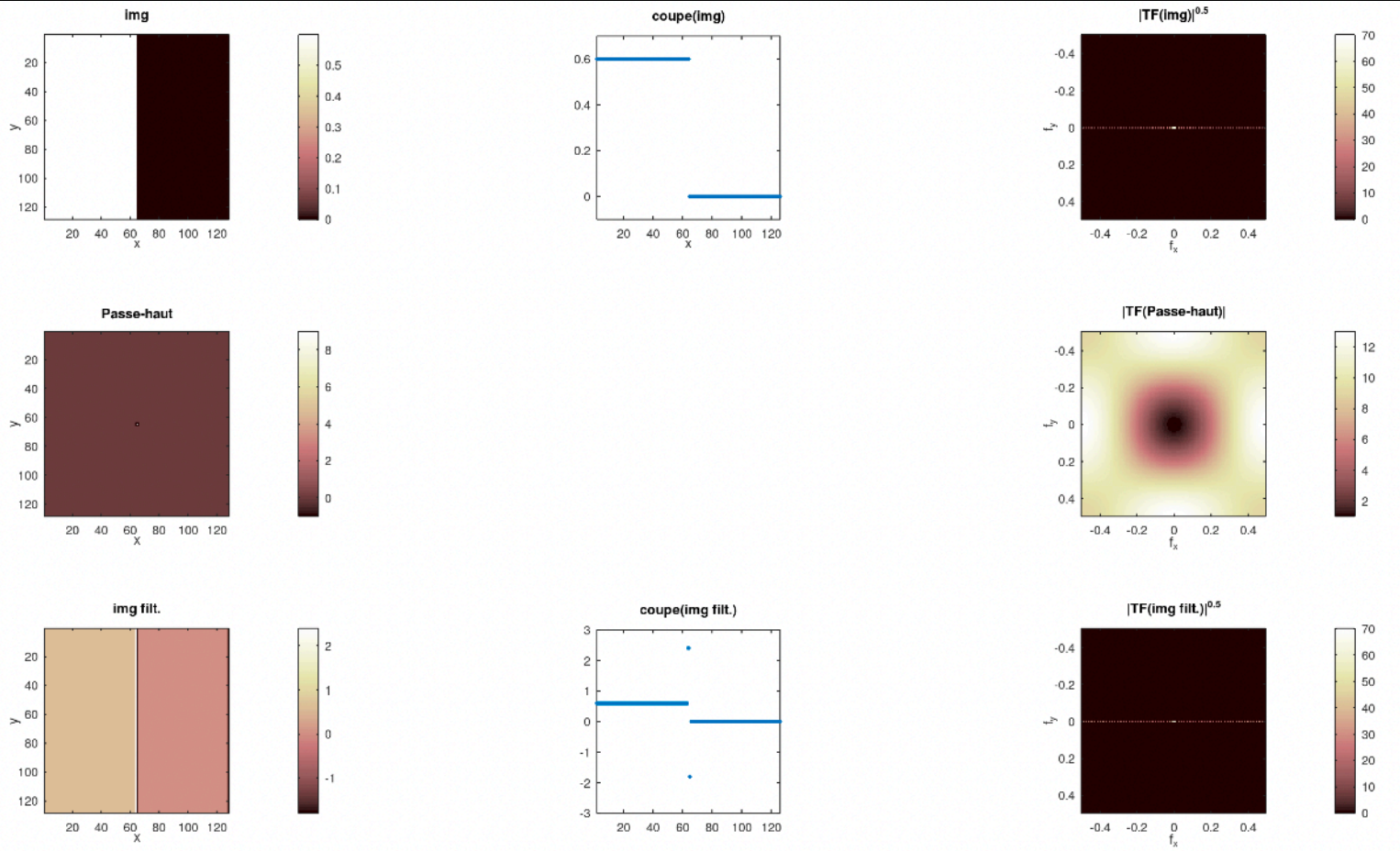


## Exercice 7 : Faire de même avec le filtre passe-haut vu au chapitre 3. -1 -1 -1

-1 9 -1

-1 -1 -1

```
1 clear
2 close all
3 pkg load image
4
5 % image
6 dim=128; I=zeros(dim,dim); I(:,1:dim/2)=0.6; % image=marche 0.6/0
7 fx=((0:dim-1)-dim/2)/dim; fy=fx; % étalonnage des fréquences
8
9 figure, colormap('pink')
10
11 subplot(3,3,1), imagesc(I), colorbar, axis('square')
12 title('img'), xlabel('x'), ylabel('y')
13
14 subplot(3,3,2), plot(I(64,:),'.'), axis('square')
15 title('coupe(img)'), xlim([2,dim-2]), ylim([-1 .7]), xlabel('x')
16
17 % FFT(image)
18 Ichap=fft2(I);
19 Ichapmod=abs(fftshift(Ichap));
20
21 subplot(3,3,3), imagesc(fx,fy,Ichapmod.^5), colorbar, axis('square')
22 title('|TF(img)|^{0.5}'), xlabel('f_x'), ylabel('f_y')
23
24 % filtre => fct de transfert
25 h=-ones(3,3); h(2,2)=9; % filtre passe-haut
26 hchap=fft2(h,dim,dim); % fct de transfert corr.
27 hchapmod=abs(fftshift(hchap));
28 subplot(3,3,6), imagesc(fx,fy,hchapmod), colorbar, axis('square')
29 title('|TF(Passe-haut)|'), xlabel('f_x'), ylabel('f_y')
30
31 % filtrage dans l'espace de Fourier
32 Ichapfilt=Ichap.*hchap;
33 Ichapfiltmod=abs(fftshift(Ichapfilt));
34 subplot(3,3,9), imagesc(fx,fy,Ichapfiltmod.^5), colorbar, axis('square')
35 title('|TF(img filt.)|^{0.5}'), xlabel('f_x'), ylabel('f_y')
36
37 % image filtrée
38 Ifilt=real(ifft2(Ichapfilt));
39 subplot(3,3,7), imagesc(Ifilt), colorbar, axis('square')
40 title('img filt.'), xlabel('x'), ylabel('y')
41
42 subplot(3,3,8), plot(Ifilt(64,:),'.'), title('coupe(img filt.)')
43 axis('square'), xlim([2,dim-2]), ylim([-3 3])
```



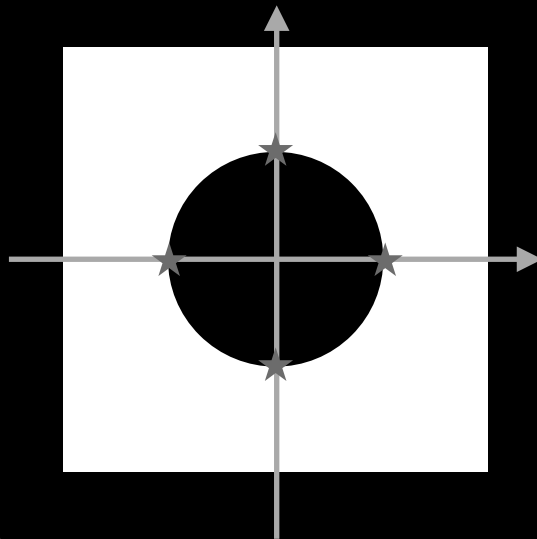
## Filtrage passe-haut, passe-bande/coupe-bande, dérivateur — directement dans le plan de Fourier

L'avantage d'être dans le plan de Fourier, c'est que l'on peut modeler les fréquences comme on le désire... Y compris le faire de manière plus simple.

- Cas du filtrage passe-haut : créer  $\hat{h}$  tel que  $|\hat{h}|$  croît quand la fréquence (spatiale) croît également => on favorise les fréquences les plus élevées => effet contraire du filtre passe-bas.

Application : Atténuer les variations lentes de l'image, pour faire ressortir les variations brusques (contours).

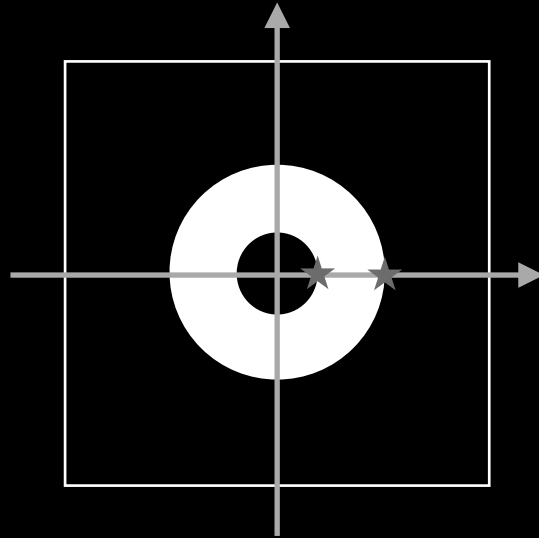
Exemple :



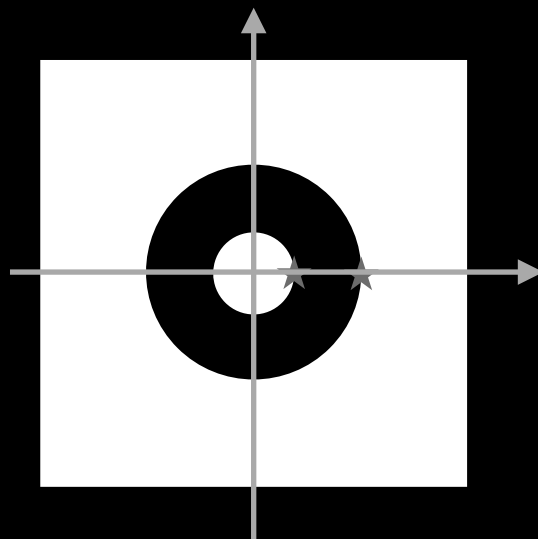
★ fréq. de coupure

(il s'agit bien d'un filtrage directement dans le plan de Fourier, appliqué à la TF de l'image)

- Cas du filtrage passe-bande : on laisse une bande de fréquences entre deux fréquences de coupures.



- Cas du filtrage coupe-bande :



- Filtre dérivateur :

En fait un filtre passe-haut, construit à partir de :

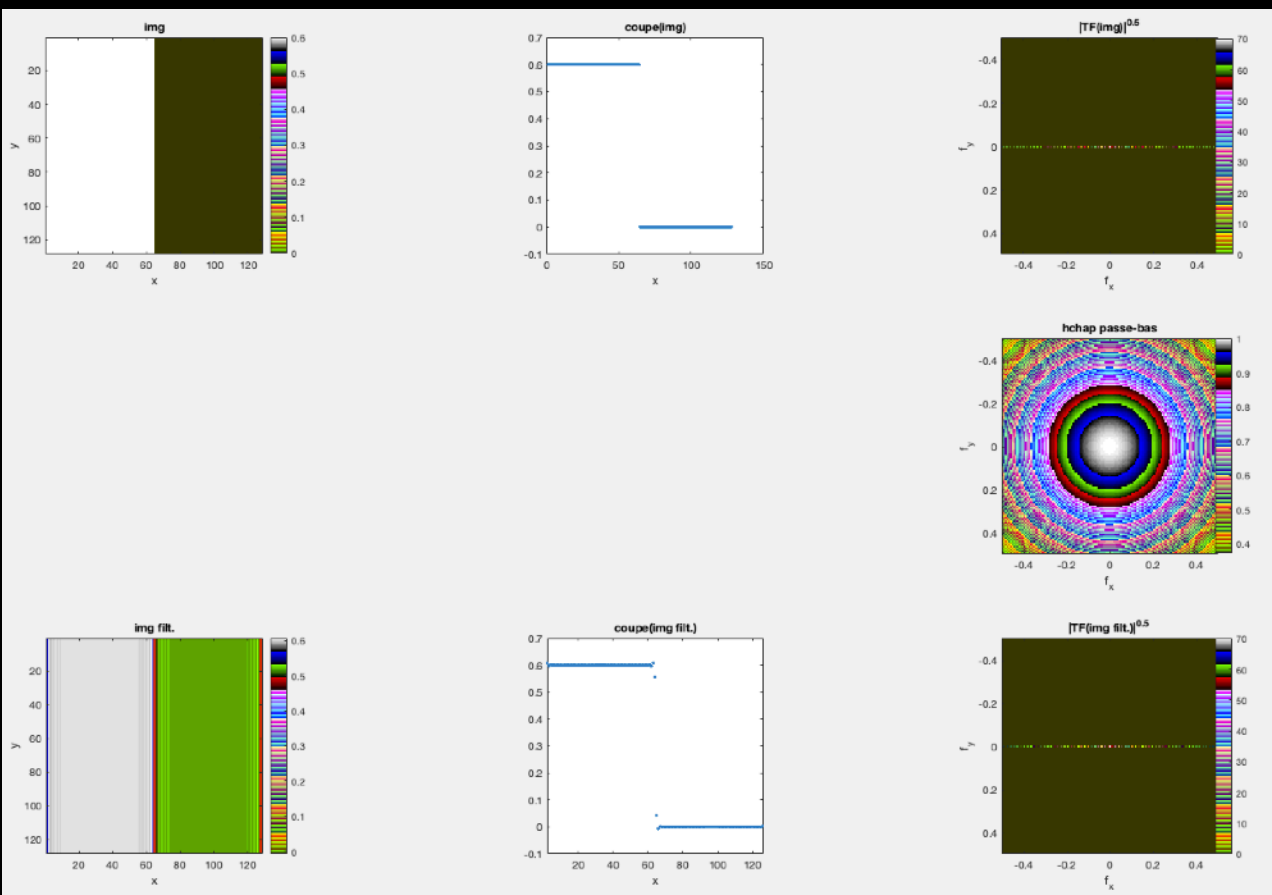
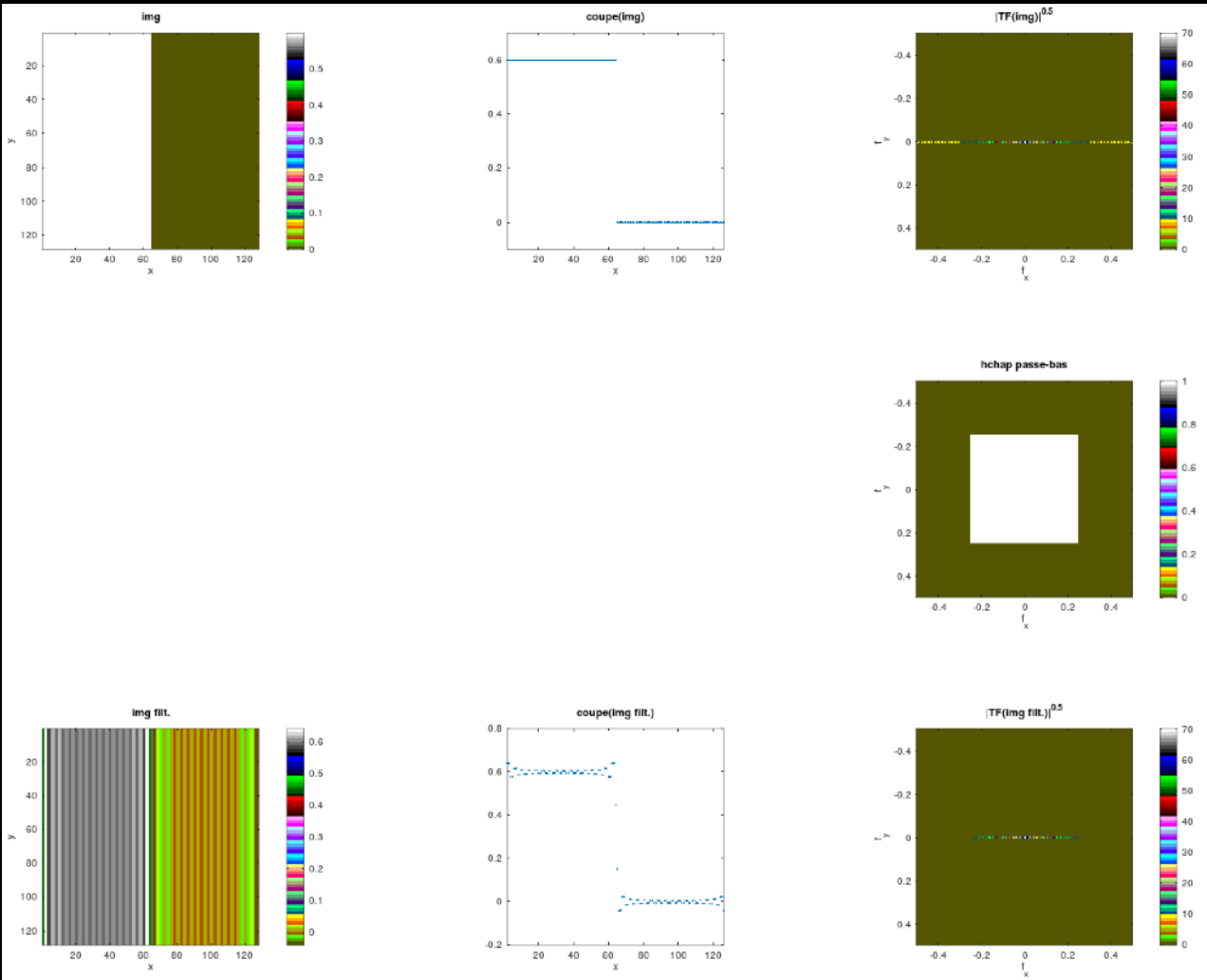
$$f'(x,y) \xrightarrow{TF} 2i\pi u \ 2i\pi v \ \hat{f}(u,v)$$

## Exercice 8 :

Filtrer (en masquant dans le plan de Fourier : notion de fonction de transfert) avec un filtre passe-bas, carré, de largeur  $\dim/2$ . Commenter le résultat.

```
1 clear
2 close all
3 %pkg load image
4
5 % image
6 dim=128; I=zeros(dim,dim); I(:,1:dim/2)=0.6; % marche 0.6/0
7 fx=((0:dim-1)-dim/2)/dim; fy=fx; % fréquences
8
9 figure, colormap('colorcube') % colormapp "colorcube"
10
11 subplot(3,3,1), imagesc(I)
12 colorbar, axis('square')
13 title('img'), xlabel('x'), ylabel('y')
14
15 subplot(3,3,2), plot(I(dim/2,:),'.')
16 axis('square'), ylim([-1 .7])
17 title('coupe(img)'), xlabel('x')
18
19 % FFT(image)
20 Ichap=fft2(I,dim,dim);
21 Ichapmod=abs(fftshift(Ichap));
22 subplot(3,3,3), imagesc(fx,fy,Ichapmod.^5)
23 colorbar, axis('square')
24 title('|TF(img)|^{0.5}'), xlabel('f_x'), ylabel('f_y')
25
26 % "filtre" (en fait fct de transfert directement!)
27 hchap=zeros(dim,dim); nn=dim/2;
28 hchap(dim/2-nn/2+1:dim/2+nn/2,dim/2-nn/2+1:dim/2+nn/2)=1.;
29 % plus smooth : le filtre gaussien...
30 % hchap=fspecial('gaussian',dim,nn); hchap=hchap/max(max(hchap));
31
32 subplot(3,3,6), imagesc(fx,fy,hchap)
33 colorbar, axis('square')
34 title('hchap passe-bas'), xlabel('f_x'), ylabel('f_y')
35
36 % filtrage dans l'espace de Fourier
37 Ichapfilt=fftshift(hchap).*Ichap;
38 Ichapfiltmod=abs(fftshift(Ichapfilt));
39 subplot(3,3,9), imagesc(fx,fy,Ichapfiltmod.^5)
40 colorbar, axis('square')
41 title('|TF(img filt.)|^{0.5}'), xlabel('f_x'), ylabel('f_y')
42
43 % retour dans l'espace réel
44 Ifilt=ifft2(Ichapfilt);
45 subplot(3,3,7), imagesc(real(Ifilt))
46 colorbar, axis('square')
47 title('img filt.'), xlabel('x'), ylabel('y')
48
49 subplot(3,3,8), plot(real(Ifilt(64,:)),'.')
50 axis('square'), ylim([-1 .7])
51 title('coupe(img filt.)'), xlim([2,dim-2]), xlabel('x')
```

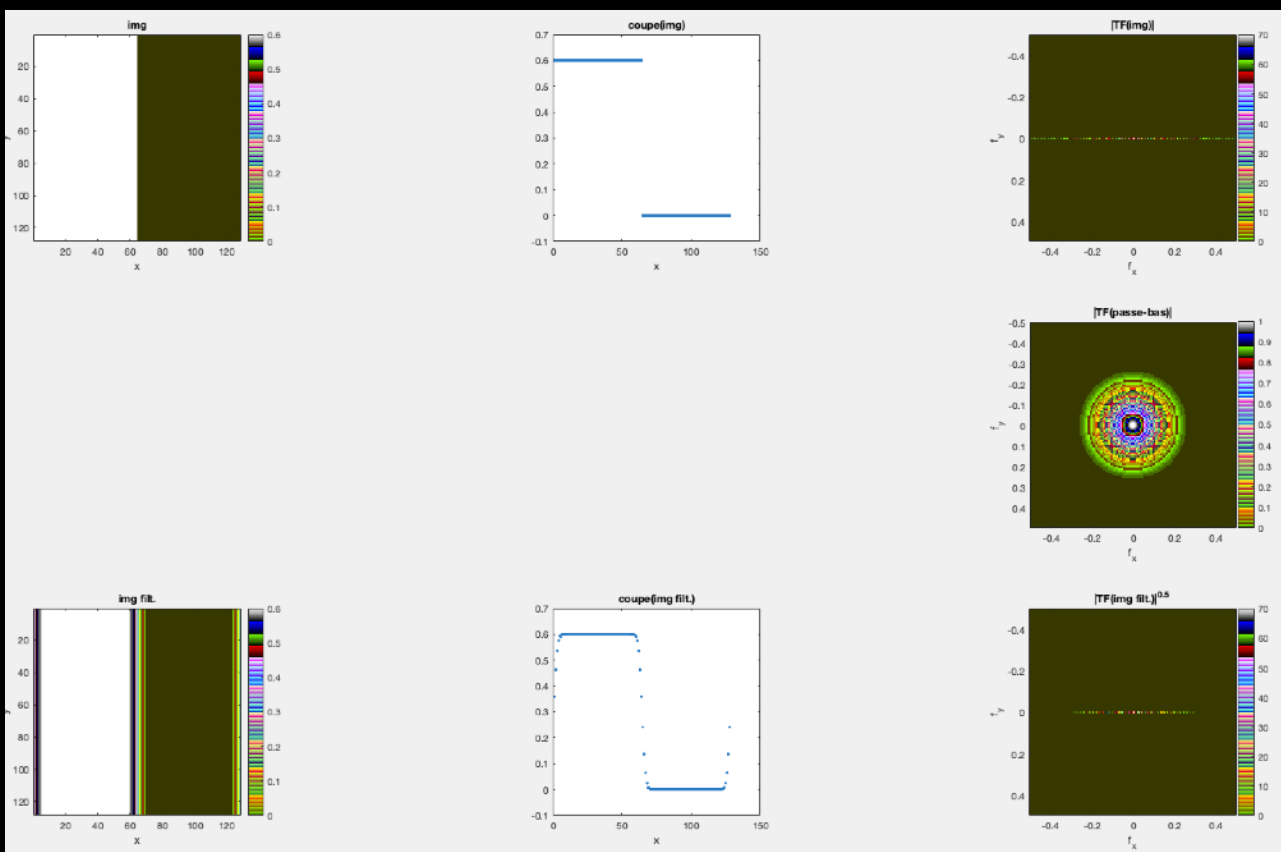
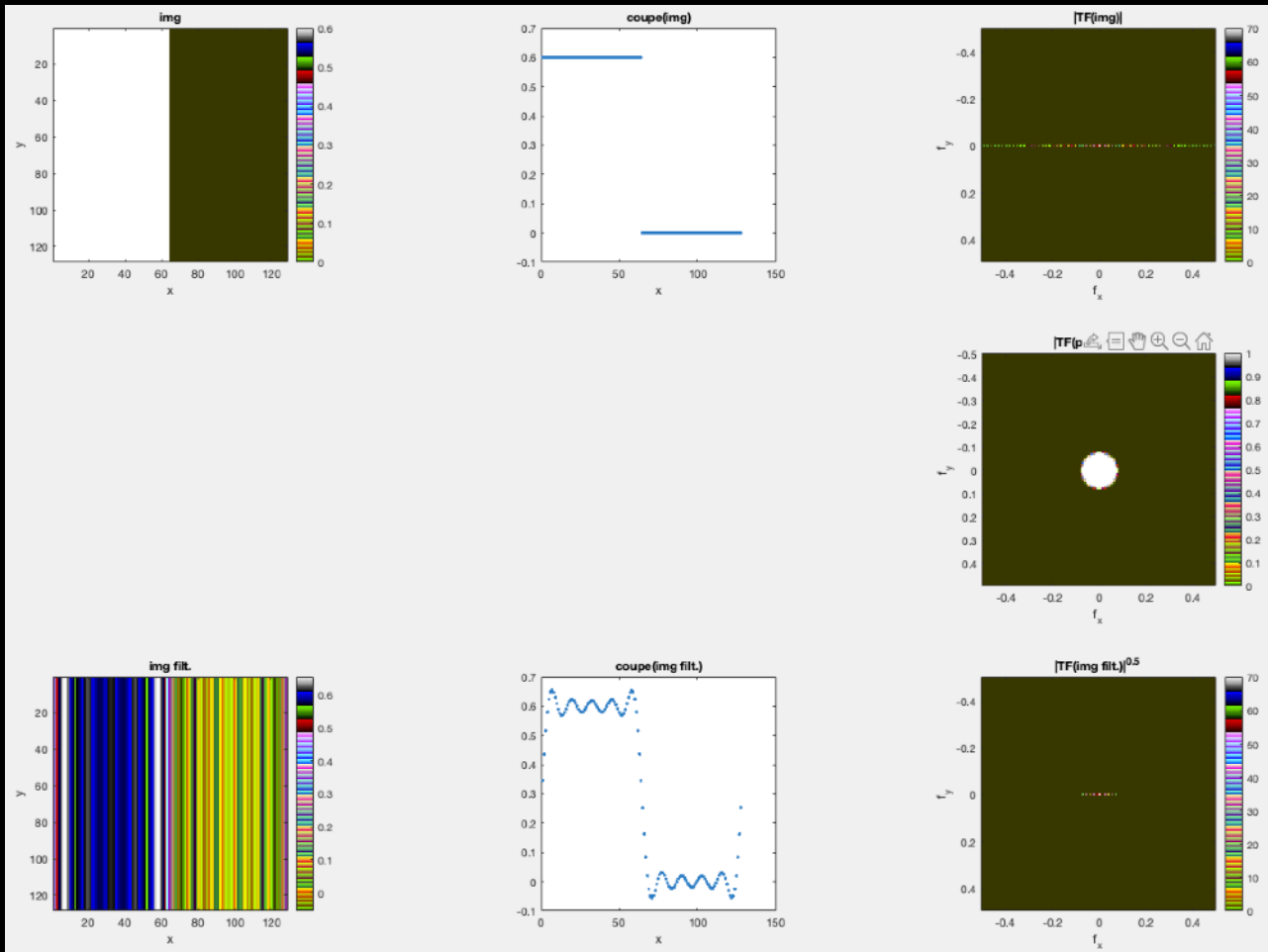




## Exercice 8bis :

Même chose avec un filtre (en fait sa FFT, i.e. un masque) circulaire (10 frequels de rayon)...

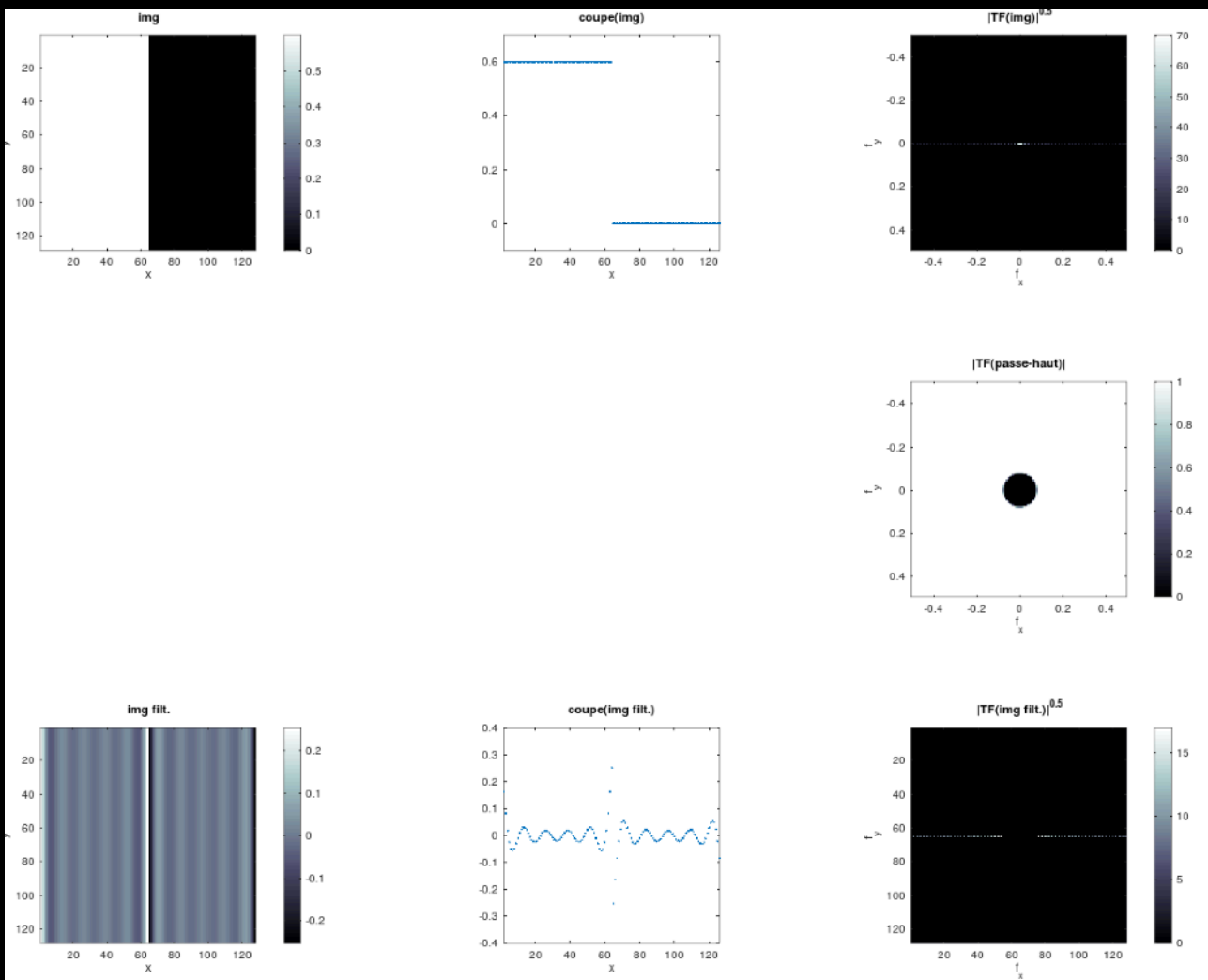
```
1 clear
2 close all
3 %pkg load image
4
5 % image
6 dim=128; I=zeros(dim,dim); I(:,1:dim/2)=0.6;
7 fx=((0:dim-1)-dim/2)/dim; fy=fx;
8
9 figure, colormap('colorcube')
10
11 subplot(3,3,1), imagesc(I)
12 colorbar,axis('square')
13 title('img'), xlabel('x'), ylabel('y')
14
15 subplot(3,3,2), plot(I(64,:),'.'), axis('square'), ylim([-0.1 0.7])
16 title('coupe(img)'), xlabel('x')
17
18 % FFT(image)
19 Ichap=fft2(I);
20 Ichapmod=abs(fftshift(Ichap));
21 subplot(3,3,3), imagesc(fx,fy,Ichapmod.^5)
22 colorbar, axis('square')
23 title('|TF(img)|'), xlabel('f_x'), ylabel('f_y')
24
25 % "filtre" (en fait fct de transfert directement!)
26 hchap=zeros(dim,dim); rr=10;
27 % hh=fspecial('disk',rr); hh=hh/max(max(hh));
28 % hchap(dim/2+1-rr:dim/2+1+rr,dim/2+1-rr:dim/2+1+rr)=hh;
29 % plus smooth : le filtre gaussien...
30 hchap=fspecial('gaussian',dim,rr); hchap=hchap/max(max(hchap));
31
32
33
34 % filtrage dans l'espace de Fourier
35 Ichapfilt=Ichap.*fftshift(hchap);
36 Ichapfiltmod=abs(fftshift(Ichapfilt));
37 subplot(3,3,9), imagesc(fx,fy,Ichapfiltmod.^5)
38 colorbar, axis('square')
39 title('|TF(img filt.)|^{0.5}'), xlabel('f_x'), ylabel('f_y')
40
41 % retour dans l'espace réel
42 Ifilt=ifft2(Ichapfilt);
43 subplot(3,3,7), imagesc(real(Ifilt))
44 colorbar, axis('square')
45 title('img filt.'), xlabel('x'), ylabel('y')
46
47 subplot(3,3,8), plot(real(Ifilt(64,:)),'.'), axis('square'), ylim([-0.1 0.7])
48 title('coupe(img filt.)'), xlabel('x')
```



## Exercice 9 :

Faire de même avec un filtre passe-haut, circulaire de rayon 10 frequels. Commenter le résultat.

```
1 clear
2 close all
3 %pkg load image
4
5 % image
6 dim=128; I=zeros(dim,dim); I(:,1:dim/2)=0.6;
7 fx=((0:dim-1)-dim/2)/dim; fy=fx;
8
9 figure, colormap('bone')
10 subplot(3,3,1), imagesc(I)
11 colorbar, axis('square')
12 title('img'), xlabel('x'), ylabel('y')
13
14 subplot(3,3,2), plot(I(64,:),'.')
15 axis('square'), ylim([-1 .7])
16 title('coupe(img)'), xlabel('x')
17
18 % FFT(image)
19 Ichap=fft2(I);
20 Ichapmod=abs(fftshift(Ichap));
21 subplot(3,3,3), imagesc(fx,fy,Ichapmod.^5), colorbar, axis('square')
22 title('|TF(img)|^{0.5}'), xlabel('f_x'), ylabel('f_y')
23
24 % "filtre" (en fait fct de transfert directement!)
25 hchap=ones(dim,dim);
26 rr=10; hh=fspecial('disk',rr); hh=hh/max(max(hh));
27 hchap(dim/2+1-rr:dim/2+1+rr,dim/2+1-rr:dim/2+1+rr)=1.-hh;
28
29 subplot(3,3,6), imagesc(fx,fy,hchap), colorbar, axis('square')
30 title('|TF(passe-haut)|'), xlabel('f_x'), ylabel('f_y')
31
32 % filtrage dans l'espace de Fourier
33 Ichapfilt=fftshift(hchap).*Ichap;
34 Ichapfiltmod=abs(fftshift(Ichapfilt));
35 subplot(3,3,9), imagesc(Ichapfiltmod.^5)
36 colorbar, axis('square')
37 title('|TF(img filt.)|^{0.5}'), xlabel('f_x'), ylabel('f_y')
38
39 % retour dans l'espace réel
40 Ifilt=ifft2(Ichapfilt);
41 subplot(3,3,7), imagesc(real(Ifilt)), colorbar, axis('square')
42 title('img filt.'), xlabel('x'), ylabel('y')
43
44 subplot(3,3,8), plot(real(Ifilt(64,:)),'.')
45 axis('square'), title('coupe(img filt.)'), xlabel('x')
```

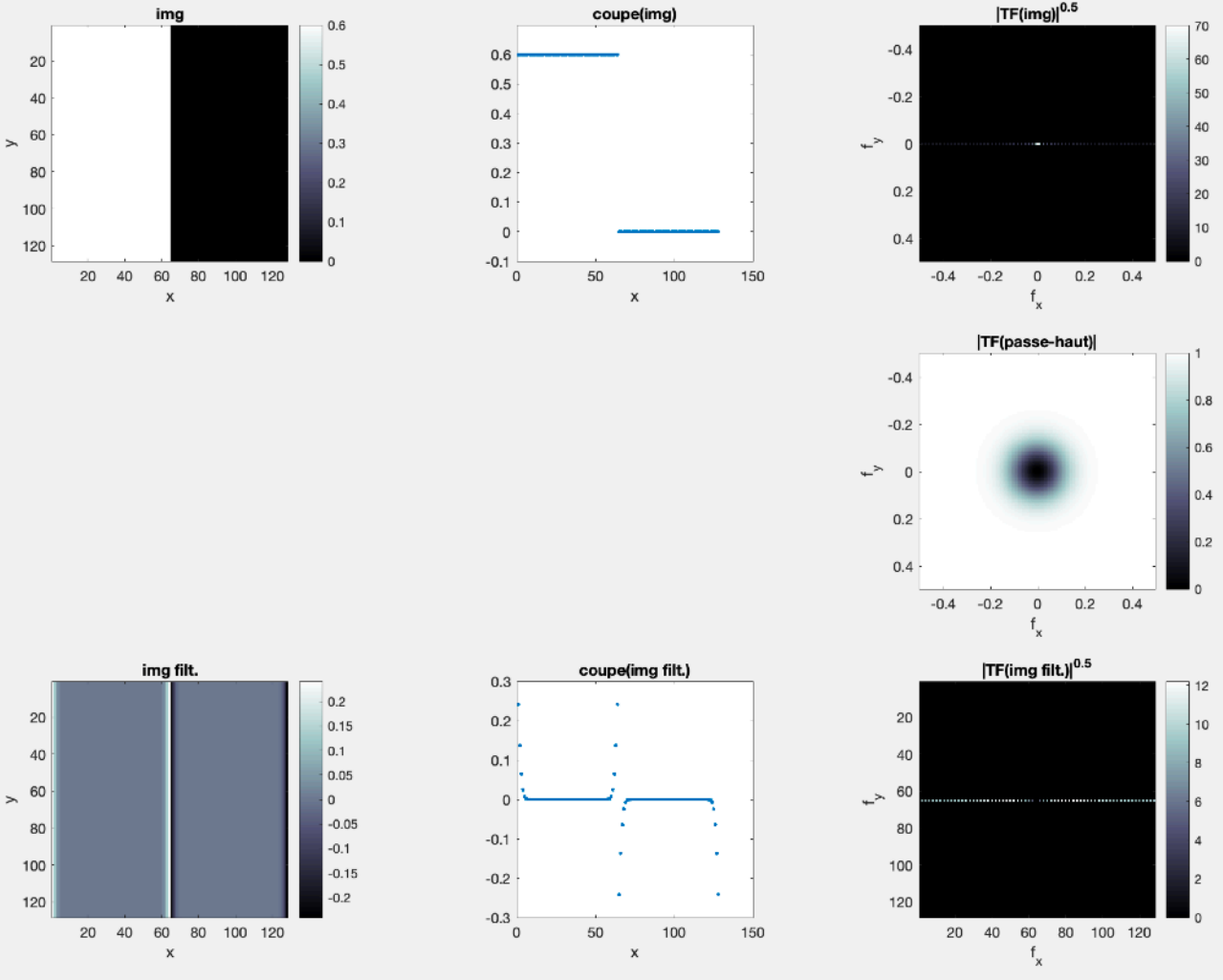


**Exercice 9+ :** Même chose (ou presque) mais avec moins d'oscillations ?...

```

24 % "filtre" (en fait fct de transfert directement!)
25 hchap=ones(dim,dim); rr=10;|
26 % hh=fspecial('disk',rr); hh=hh/max(max(hh));
27 % hchap(dim/2+1-rr:dim/2+1+rr,dim/2+1-rr:dim/2+1+rr)=1.-hh;
28 % plus smooth : un filtre avec une forme gaussienne...
29 hchap=fspecial('gaussian',dim,rr); hchap=hchap/max(max(hchap));
30 hchap=1-hchap;

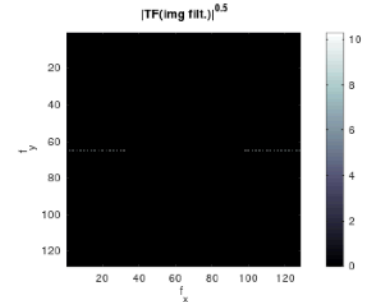
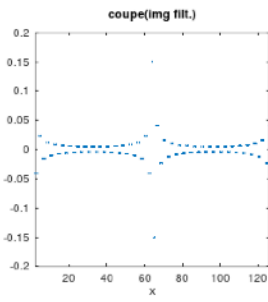
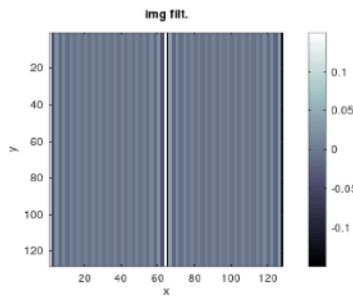
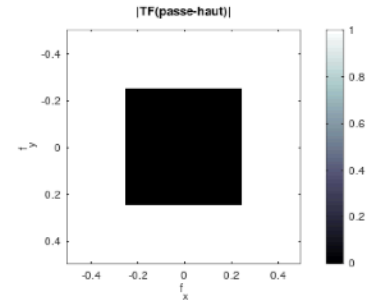
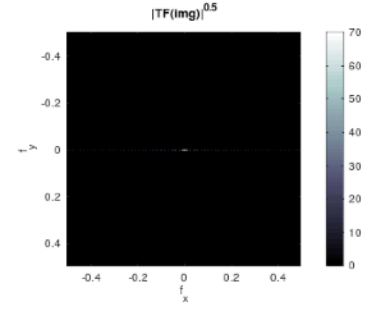
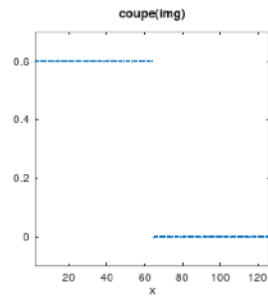
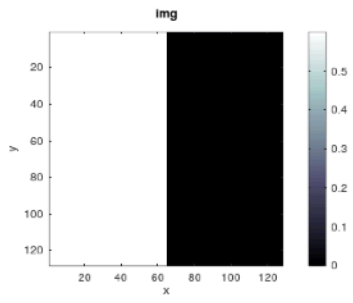
```



## Exercice 9bis :

Même chose avec un masque carré de dimension  $\text{dim}/2$ .

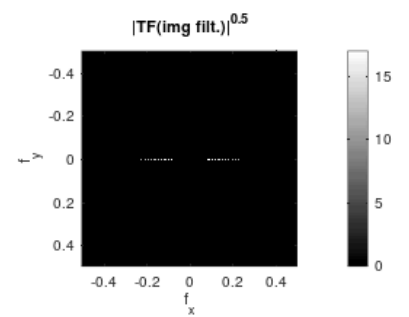
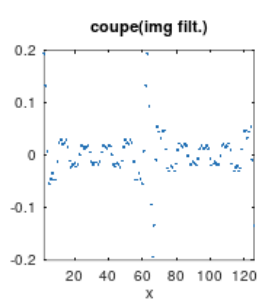
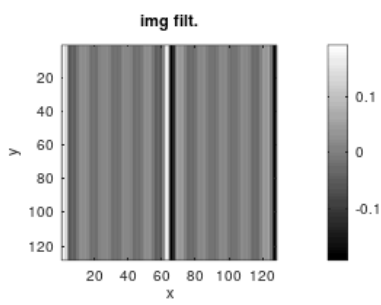
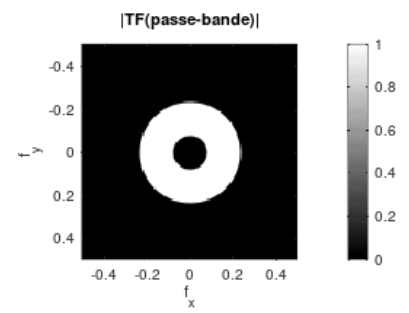
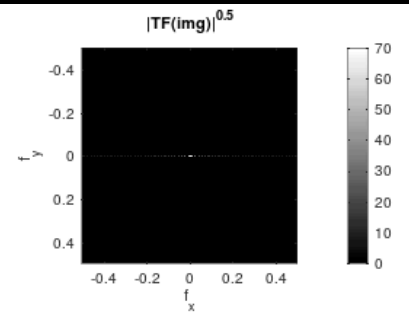
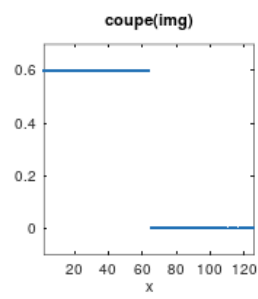
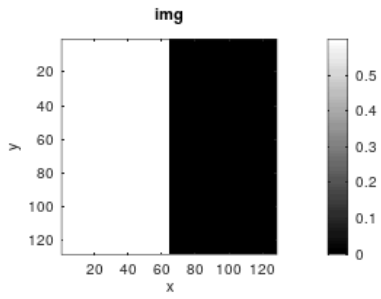
```
1 clear
2 close all
3
4 % image
5 dim=128; I=zeros(dim,dim); I(:,1:dim/2)=0.6;
6 fx=((0:dim-1)-dim/2)/dim; fy=fx;
7
8 figure, colormap('bone')
9 subplot(3,3,1), imagesc(I), colorbar, axis('square'), title('I(x,y)')
10
11 subplot(3,3,2), plot(I(64,:),'.'), axis('square'), ylim([-0.1 .7])
12 title('coupe(img)'), xlabel('x')
13
14 % FFT(image)
15 Ichap=fft2(I);
16 Ichapmod=abs(fftshift(Ichap));
17 subplot(3,3,3), imagesc(fx,fy,Ichapmod.^5), colorbar, axis('square')
18 title('|TF(img)|^{0.5}'), xlabel('f_x'), ylabel('f_y')
19
20 % masque dans le plan de Fourier (fct de transfert)
21 hchap=zeros(dim,dim); nn=dim/2;
22 hchap(dim/2-nn/2+1:dim/2+nn/2,dim/2-nn/2+1:dim/2+nn/2)=1.; hchap=1-hchap;
24 subplot(3,3,6), imagesc(fx,fy,hchap), colorbar, axis('square')
25 title('|TF(passe-haut)|'), xlabel('f_x'), ylabel('f_y')
26
27 % filtrage dans l'espace de Fourier
28 Ichapfilt=fftshift(hchap).*Ichap;
29 Ichapfiltmod=abs(fftshift(Ichapfilt));
30 subplot(3,3,9), imagesc(Ichapfiltmod.^5), colorbar, axis('square')
31 title('|TF(img filt.)|^{0.5}'), xlabel('f_x'), ylabel('f_y')
32
33 % retour dans l'espace réel
34 Ifilt=real(ifft2(Ichapfilt));
35 subplot(3,3,7), imagesc(Ifilt), colorbar, axis('square'), title('I_f(x,y)')
36
37 subplot(3,3,8), plot(real(Ifilt(64,:)),'.'), axis('square')
38 title('coupe(img filt.)'), xlabel('x')
```





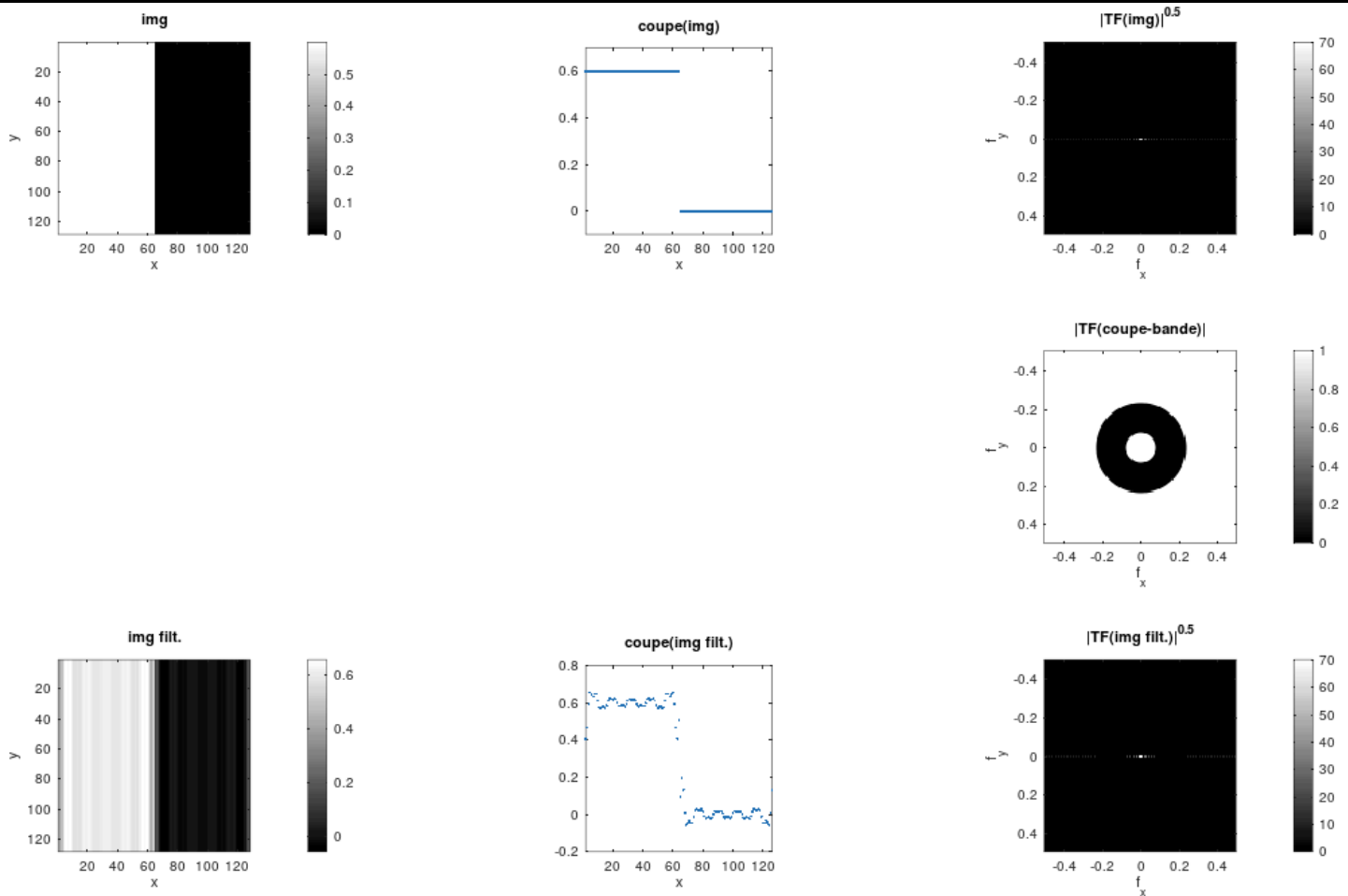
## Exercice 10 : Idem avec un filtre passe-bande circulaire entre 10 et 30 frequels.

```
1 clear
2 close all
3
4 % image
5 dim=128; I=zeros(dim,dim); I(:,1:dim/2)=0.6;
6 fx=((0:dim-1)-dim/2)/dim; fy=fx;
7
8 figure, colormap('gray')
9 subplot(3,3,1), imagesc(I), colorbar, axis('square'), title('I(x,y)')
10 subplot(3,3,2), plot(I(64,:),'.'), axis('square'), title('coupe de I')
11 ylim([-0.1 0.7]), xlabel('x')
12
13 % FFT(image)
14 Ichap=fft2(I);
15 Ichapmod=abs(fftshift(Ichap));
16 subplot(3,3,3), imagesc(fx,fy,Ichapmod.^5), colorbar, axis('square')
17 title('|TF(img)|^{0.5}'), xlabel('f_x'), ylabel('f_y')
18
19 % masque dans le plan de Fourier (fct de transfert)
20 hchap=zeros(dim,dim);
21 rr =10; hh =fspecial('disk',rr ); hh =hh /max(max(hh)) ;
22 rrr=30; hhh=fspecial('disk',rrr); hhh=hhh/max(max(hhh));
23 hchap(dim/2+1-rrr:dim/2+1+rrr,dim/2+1-rrr:dim/2+1+rrr)=hhh;
24 hchap(dim/2+1-rr :dim/2+1+rr ,dim/2+1-rr :dim/2+1+rr )=1-hh;
25
26 subplot(3,3,6), imagesc(fx,fy,hchap), colorbar, axis('square')
27 title('|TF(passe-bande)|'), xlabel('f_x'), ylabel('f_y')
28
29 % filtrage dans l'espace de Fourier
30 Ichapfilt=fftshift(hchap).*Ichap;
31 Ichapfiltmod=abs(fftshift(Ichapfilt));
32
33 subplot(3,3,9), imagesc(fx,fy,Ichapfiltmod.^5), colorbar, axis('square')
34 title('|TF(img filt.)|^{0.5}'), xlabel('f_x'), ylabel('f_y')
35
36 % retour dans l'espace réel
37 Ifilt=real(ifft2(Ichapfilt));
38
39 subplot(3,3,7), imagesc(Ifilt), colorbar, axis('square'), title('I_f(x,y)')
40 subplot(3,3,8), plot(Ifilt(64,:),'.'), axis('square')
41 title('coupe de I_f'), xlabel('x')
```



## Exercice 11 : Idem avec un filtre coupe-bande circulaire entre 10 et 30 frequels.

```
1 clear
2 close all
3
4 % image
5 dim=128; I=zeros(dim,dim); I(:,1:dim/2)=0.6;
6 fx=((0:dim-1)-dim/2)/dim; fy=fx;
7
8 figure, colormap('gray')
9 subplot(3,3,1), imagesc(I), colorbar, axis('square'), title('I(x,y)')
10
11 subplot(3,3,2), plot(I(dim/2,:), '.'), axis('square'), title('coupe de I')
12 ylim([-0.1 0.7]), xlabel('x')
13
14 % FFT(image)
15 Ichap=fft2(I);
16 Ichapmod=abs(fftshift(Ichap));
17
18 subplot(3,3,3), imagesc(fx,fy,Ichapmod.^5), colorbar, axis('square')
19 title('|TF(img)|^{0.5}'), xlabel('f_x'), ylabel('f_y')
20
21 % "filtre" (en fait fct de transfert directement!)
22 hchap=zeros(dim,dim);
23 rr=10; hh=fspecial('disk',rr); hh=hh/max(max(hh));
24 rrr=30; hhh=fspecial('disk',rrr); hhh=hhh/max(max(hhh));
25 hchap(dim/2+1-rrr:dim/2+1+rrr,dim/2+1-rrr:dim/2+1+rrr)=hhh;
26 hchap(dim/2+1-rr:dim/2+1+rr,dim/2+1-rr:dim/2+1+rr)=1-hh;
27 hchap=1.-hchap;
28
29 subplot(3,3,6), imagesc(fx,fy,hchap), colorbar, axis('square')
30 title('|TF(coupe-bande)|'), xlabel('f_x'), ylabel('f_y')
31
32 % filtrage dans l'espace de Fourier
33 Ichapfilt=fftshift(hchap).*Ichap;
34 Ichapfiltmod=abs(fftshift(Ichapfilt));
35
36 subplot(3,3,9), imagesc(fx,fy,Ichapfiltmod.^5), colorbar, axis('square')
37 title('|TF(img filt.)|^{0.5}'), xlabel('f_x'), ylabel('f_y')
38
39 % retour dans l'espace réel
40 Ifilt=real(ifft2(Ichapfilt));
41
42 subplot(3,3,7), imagesc(Ifilt), colorbar, axis('square'), title('I_f(x,y)')
43 subplot(3,3,8), plot(Ifilt(dim/2,:), '.'), axis('square')
44 title('coupede I_f'), xlabel('x')
```



—> Boîte à outils pour le filtrage de Fourier !!

**Etape 1** : Création de la fonction

Dans un fichier nommé stat.m, on écrit le texte suivant :

Code :

```

1 function [mean,stdev] = stat(x)
2 n = length(x);
3 mean = sum(x)/n;
4 stdev = sqrt(sum((x-mean).^2/n));

```

**Etape 2** : Création d'un script qui utilise la fonction :

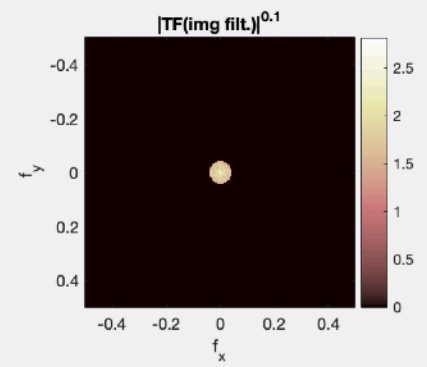
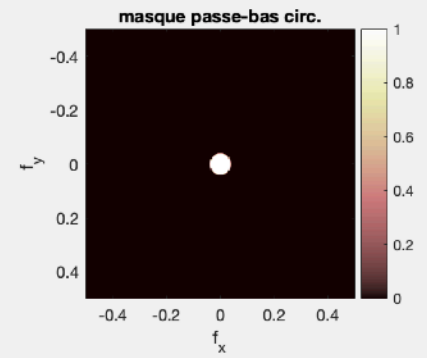
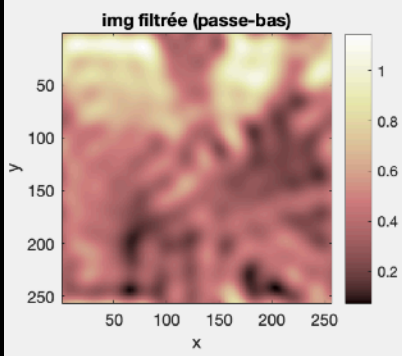
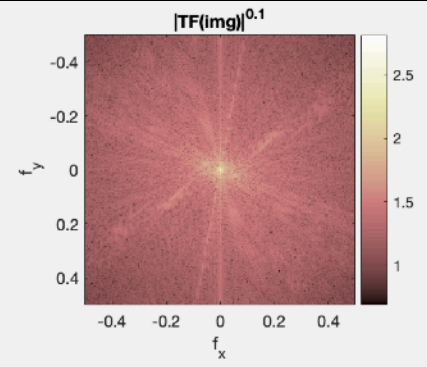
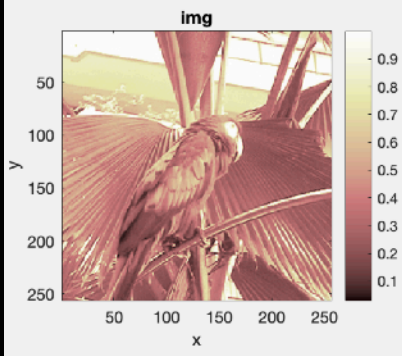
Dans un fichier nommé monscript.m (qui se trouve dans l

Code :

```
[mean stdev] = stat([12.7 45.4 98.9 26.6 53/1])
```

**Exercice 12 :** Appliquer les filtrages passe-bas circulaire, passe-haut circulaire, passe-bande circulaire et coupe-bande circulaire sur une image de votre choix. (Vérifier au passage que la somme de l'image filtrée passe-bas et de l'image filtrée passe-haut redonne bien l'image de départ. Idem pour les filtres passe-bande et coupe-bande.)

```
1 clear
2 close all
3 %pkg load image
4
5 % image et FFT(image)
6 I=imread('/Users/marcel/Documents/MATLAB/GBM/0-images/bird.jpg');
7 I=rgb2gray(I);
8 I=double(I)/255;
9 dimx=size(I,1); dimy=size(I,2);
10
11 fx=((0:dimx-1)-dimx/2)/(dimx*1); % ici Δx=Δy=1
12 fy=((0:dimy-1)-dimy/2)/(dimy*1);
13
14 Ichap=fft2(I);
15 Ichapmod=abs(fftshift(Ichap));
16
17 % (1) filtrage passe-bas circulaire
18 rr=10; hh=fspecial('disk',rr); hh=hh/max(max(hh));
19 hchap=zeros(dimx,dimy);
20 hchap(dimx/2+1-rr:dimx/2+1+rr,dimy/2+1-rr:dimy/2+1+rr)=hh;
21
22 Ichapfilt=fftshift(hchap).*Ichap;
23 Ichapfiltmod=abs(fftshift(Ichapfilt));
24
25 Ifilt=real(ifft2(Ichapfilt));
26
27 % représentation
28 figure(1), colormap('pink')
29
30 subplot(3,2,1), imagesc(I), colorbar, axis('image')
31 title('img'), xlabel('x'), ylabel('y')
32
33 subplot(3,2,2), imagesc(fx,fy,Ichapmod.^1), colorbar, axis('image'),
34 title('|TF(img)|^{0.1}'), xlabel('f_x'), ylabel('f_y')
35
36 subplot(3,2,4), imagesc(fx,fy,hchap), colorbar, axis('image')
37 title('masque passe-bas circ.'), xlabel('f_x'), ylabel('f_y')
38
39 subplot(3,2,6), imagesc(fx,fy,Ichapfiltmod.^1), colorbar, axis('image')
40 title('|TF(img filt.)|^{0.1}'), xlabel('f_x'), ylabel('f_y')
41
42 subplot(3,2,5), imagesc(Ifilt), colorbar, axis('image')
43 title('img filtrée (passe-bas)'), xlabel('x'), ylabel('y')
```



```

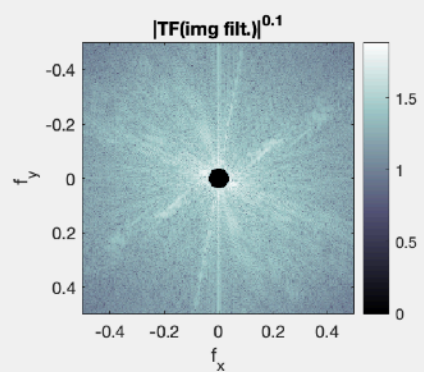
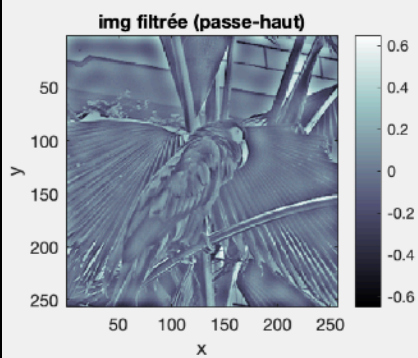
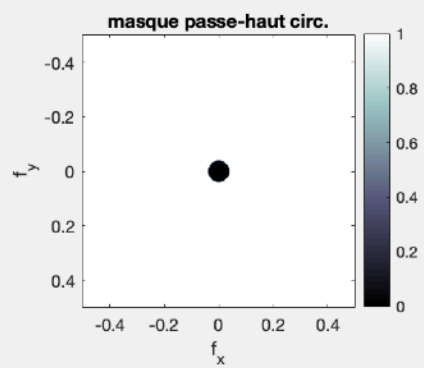
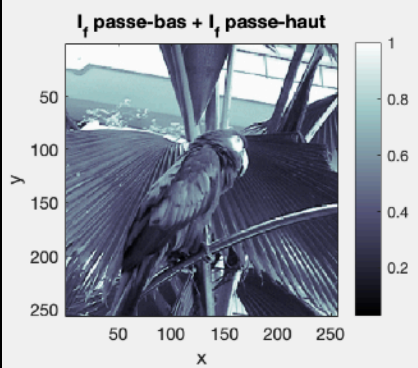
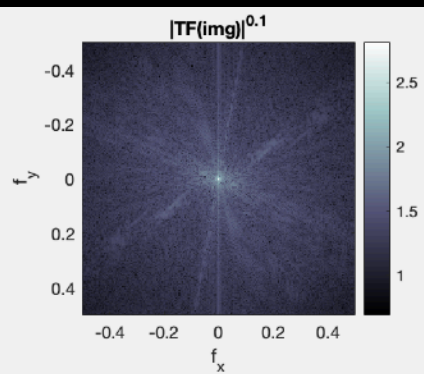
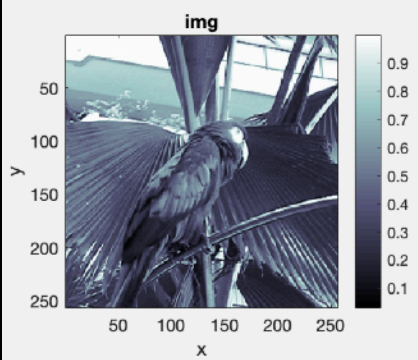
45 % (2) filtrage passe-haut circulaire
46 hchap=ones(dimx,dimy);
47 hchap(dimx/2+1-rr:dimx/2+1+rr,dimy/2+1-rr:dimy/2+1+rr)=1.-hh;
48
49 Ichapfilt=fftshift(hchap).*Ichap;
50 Ichapfiltmod=abs(fftshift(Ichapfilt));
51
52 Ifilt2=real(ifft2(Ichapfilt));
53
54 % représentation
55 figure(2), colormap('bone')
56
57 subplot(3,2,1), imagesc(I), colorbar, axis('image')
58 title('img'), xlabel('x'), ylabel('y')
59
60 subplot(3,2,2), imagesc(fx,fy,Ichapmod.^.1), colorbar, axis('image')
61 title('|TF(img)|^{0.1}'), xlabel('f_x'), ylabel('f_y')
62
63 subplot(3,2,4), imagesc(fx,fy,hchap), colorbar, axis('image')
64 title('masque passe-haut circ.'), xlabel('f_x'), ylabel('f_y')
65
66 subplot(3,2,6), imagesc(fx,fy,Ichapfiltmod.^.1), colorbar, axis('image')
67 title('|TF(img filt.)|^{0.1}'), xlabel('f_x'), ylabel('f_y')
68
69 subplot(3,2,5), imagesc(Ifilt2), colorbar, axis('image')
70 title('img filtrée (passe-haut)'), xlabel('x'), ylabel('y')

```

```

72 % somme des deux images filtrées = image de départ ?
73 Iff=Ifilt+Ifilt2;
74 subplot(3,2,3), imagesc(Iff), colorbar, axis('image')
75 title('I_f passe-bas + I_f passe-haut'), xlabel('x'), ylabel('y')
76 distance=sqrt(sum(sum((I-Iff).^2)))/(dimx*dimy);
77 ['distance entre image de départ et somme des deux images filtrées : ', num2str(distance)]
78 ['comparée à l"intégrale de l"image : ', num2str(sum(sum(I)))]
79 ['soit ', num2str(distance/sum(sum(I))*100), '% de différence']

```

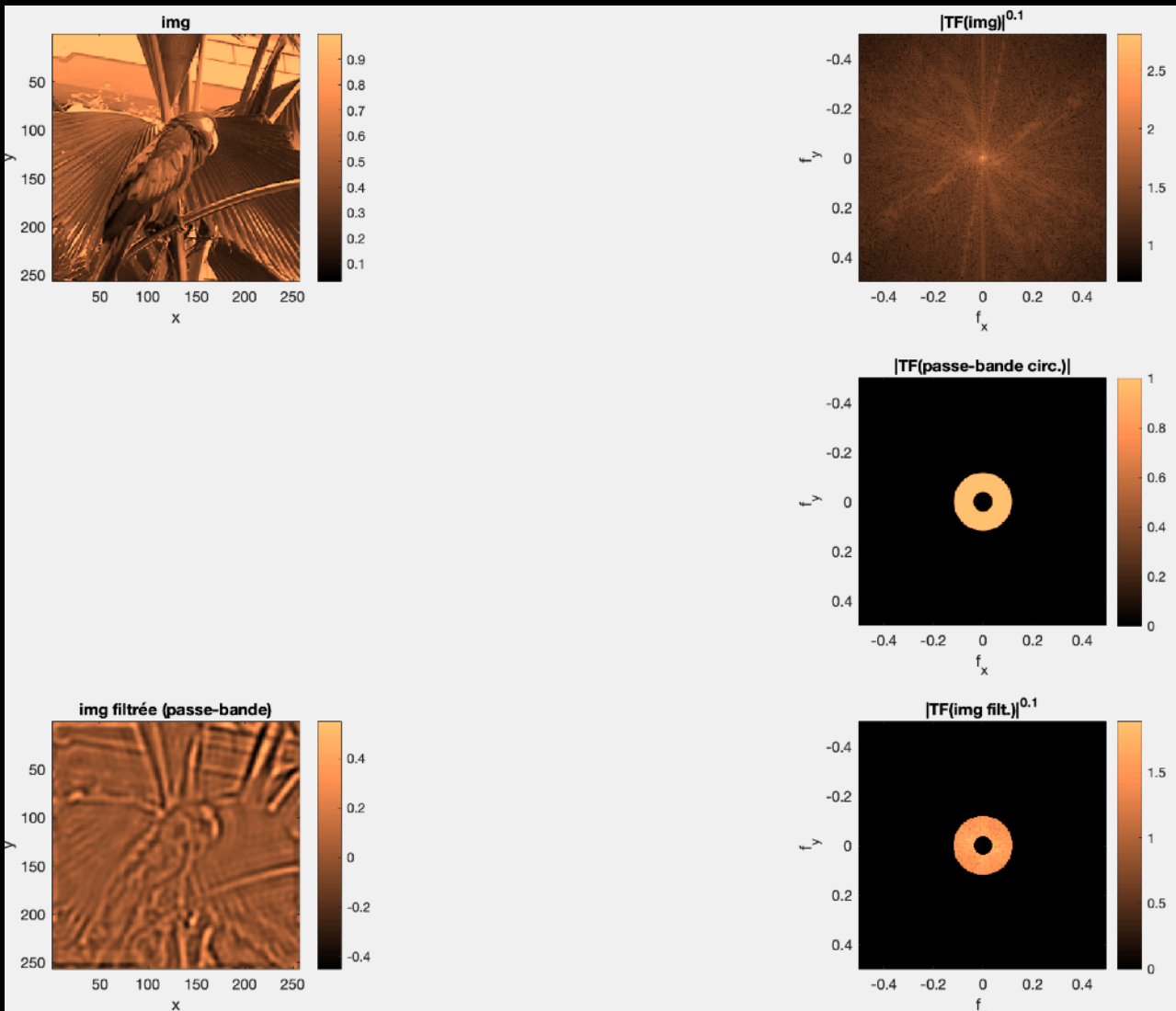




```

81 % (3) filtrage passe-bande circulaire
82 hchap=zeros(dimx,dimy);
83 rrr=30; hhh=fspecial('disk',rrr); hhh=hhh/max(max(hhh));
84 hchap(dimx/2+1-rrr:dimx/2+1+rrr,dimy/2+1-rrr:dimy/2+1+rrr)=hhh;
85 hchap(dimx/2+1-rrr:dimx/2+1+rrr,dimy/2+1-rrr:dimy/2+1+rrr)=1-hh;
86
87 Ichapfilt=fftshift(hchap).*Ichap;
88 Ichapfiltmod=abs(fftshift(Ichapfilt));
89
90 Ifilt=real(ifft2(Ichapfilt));
91
92 % représentation
93 figure(3), colormap('copper')
94
95 subplot(3,2,1), imagesc(I), colorbar, axis('image')
96 title('img'), xlabel('x'), ylabel('y')
97
98 subplot(3,2,2), imagesc(fx,fy,Ichapmod.^.1), colorbar, axis('image')
99 title('|TF(img)|^{0.1}'), xlabel('f_x'), ylabel('f_y')
100
101 subplot(3,2,4), imagesc(fx,fy,hchap), colorbar, axis('image')
102 title('|TF(passe-bande circ.)|'), xlabel('f_x'), ylabel('f_y')
103
104 subplot(3,2,6), imagesc(fx,fy,Ichapfiltmod.^.1), colorbar, axis('image')
105 title('|TF(img filt.)|^{0.1}'), xlabel('f_x'), ylabel('f_y')
106
107 subplot(3,2,5), imagesc(Ifilt), colorbar, axis('image')
108 title('img filtrée (passe-bande)'), xlabel('x'), ylabel('y')

```



```

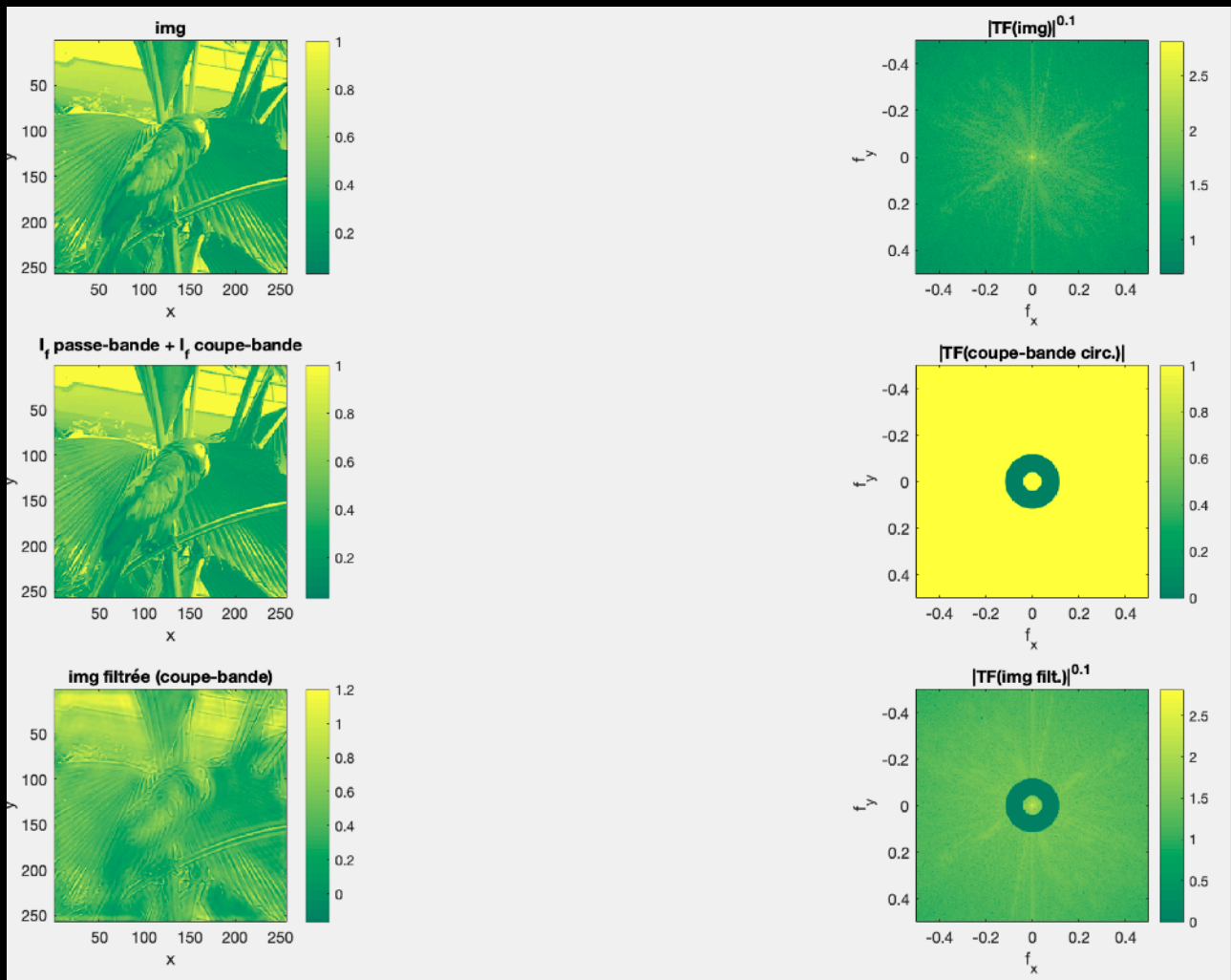
110 % (4) filtrage coupe-bande circulaire
111 hchap=1.-hchap;
112
113 Ichapfilt=fftshift(hchap).*Ichap;
114 Ichapfiltmod=abs(fftshift(Ichapfilt));
115
116 Ifilt2=real(ifft2(Ichapfilt));
117
118 % représentation
119 figure(4), colormap('summer')
120
121 subplot(3,2,1), imagesc(I), colorbar, axis('image')
122 title('img'), xlabel('x'), ylabel('y')
123
124 subplot(3,2,2), imagesc(fx,fy,Ichapmod.^1), colorbar, axis('image')
125 title('|TF(img)|^{0.1}'), xlabel('f_x'), ylabel('f_y')
126
127 subplot(3,2,4), imagesc(fx,fy,hchap), colorbar, axis('image')
128 title('|TF(coupe-bande circ.)|'), xlabel('f_x'), ylabel('f_y')
129
130 subplot(3,2,6), imagesc(fx,fy,Ichapfiltmod.^1), colorbar, axis('image')
131 title('|TF(img filt.)|^{0.1}'), xlabel('f_x'), ylabel('f_y')
132
133 subplot(3,2,5), imagesc(Ifilt2), colorbar, axis('image')
134 title('img filtrée (coupe-bande)'), xlabel('x'), ylabel('y')

```

```

136 % somme des deux images filtrées = image de départ ?
137 Iff=Ifilt+Ifilt2;
138 subplot(3,2,3), imagesc(Iff), colorbar, axis('image')
139 title('I_f passe-bande + I_f coupe-bande'), xlabel('x'), ylabel('y')
140 distance=sqrt(sum(sum((I-Iff).^2)))/(dimx*dimy);
141 ['distance entre image de départ et somme des deux images filtrées : ', num2str(distance)]
142 ['comparée à l"intégrale de l"image : ', num2str(sum(sum(I)))]
143 ['soit ', num2str(distance/sum(sum(I))*100), '% de différence']

```

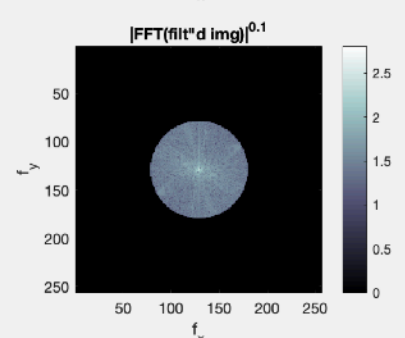
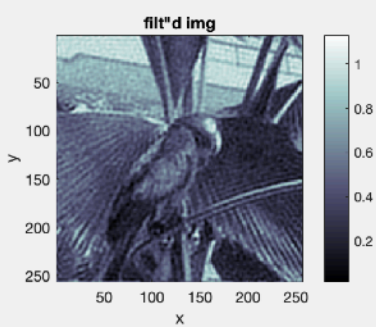
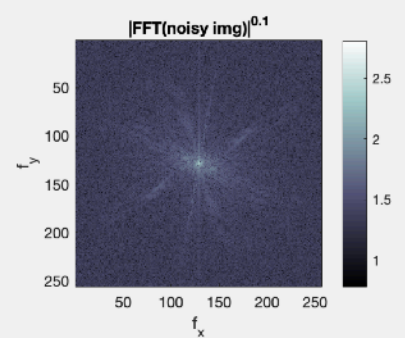
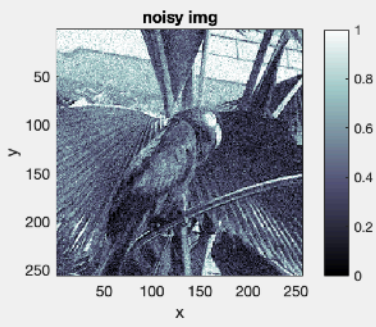
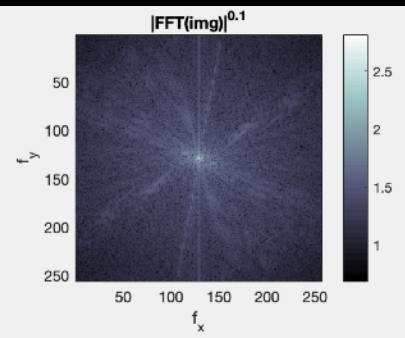
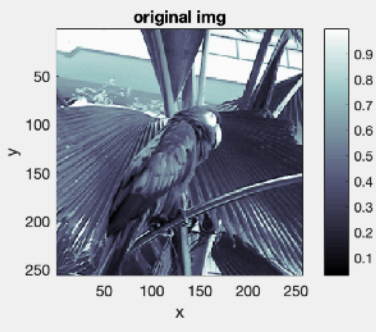


**Exercice 12bis :** Filtrer une image de votre choix par un filtre qui ne laisse passer qu'une partie des fréquences (passe-bande). Prenez une bande de fréquences chacun·e puis vérifiez que l'on retrouve bien l'image initiale en additionnant toutes les images filtrées en une image composite.

## 3 - Restoration d'images

- **Exercice 13** : Bruiter (bruit Gaussien additif de variance 1%) une image de votre choix (e.g. *bird.jpeg*), puis atténuer ce bruit à l'aide d'un filtre passe-bas adapté par vos soins. Quelle est la fréquence de coupure optimale pour ce filtre ?

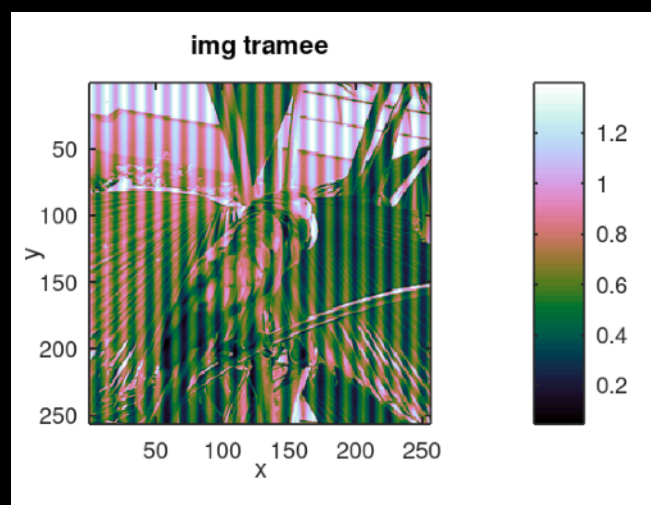
```
1      %%% préliminaires
2      clear
3      close all
4      %pkg load image
5
6      %%% préparation image
7      img=imread('./0-images/bird.jpg');
8      img=rgb2gray(img); img=double(img)/255.;
9      dim=size(img); dimx=dim(1); dimy=dim(2);
10     fx=((0:dimx-1)-dimx/2)/dimx;
11     fy=((0:dimy-1)-dimy/2)/dimy;
12
13     %%% FFT(image) - pour comparaison
14     img_chap = fft2(img);
15     img_chapmod = abs(fftshift(img_chap));
16
17     %%% figure
18     figure, colormap('bone')
19     |
20     subplot(3,2,1)
21     imagesc(img), colorbar, axis('image')
22     title('original img'), xlabel('x'), ylabel('y')
23
24     subplot(3,2,2)
25     imagesc(img_chapmod.^1), colorbar, axis('image')
26     title('|FFT(img)|^{0.1}'), xlabel('f_x'), ylabel('f_y')
27
28     %%% bruitage
29     varg = 0.01;
30     imgn = imnoise(img, 'gaussian', 0., varg);
31
32     %%% FFT(image bruitée)
33     imgn_chap=fft2(imgn);
34     imgn_chapmod=abs(fftshift(imgn_chap));
35
36     subplot(3,2,3)
37     imagesc(imgn), colorbar, axis('image')
38     title('noisy img'), xlabel('x'), ylabel('y')
39
40     subplot(3,2,4)
41     imagesc(imgn_chapmod.^1), colorbar, axis('image')
42     title('|FFT(noisy img)|^{0.1}'), xlabel('f_x'), ylabel('f_y')
43
44     %%% filtrage passe-bas (débruitage)
45     hchap=zeros(dim);
46     rr=50; hh=fspecial('disk',rr); hh=hh/max(max(hh));
47     hchap(dimx/2+1-rr:dimx/2+1+rr,dimy/2+1-rr:dimy/2+1+rr)=hh;
48
49     imgn_chap_filt=fftshift(hchap).*imgn_chap;
50     imgn_chap_filtmod=abs(fftshift(imgn_chap_filt));
51     imgn_filt=real(ifft2(imgn_chap_filt));
52
53     subplot(3,2,5)
54     imagesc(imgn_filt), colorbar, axis('image')
55     title('filt"d img'), xlabel('x'), ylabel('y')
56
57     subplot(3,2,6)
58     imagesc(imgn_chap_filtmod.^1), colorbar, axis('image')
59     title('|FFT(filt"d img)|^{0.1}'), xlabel('f_x'), ylabel('f_y')
```



- **Exercice 14 : Détramage**

Tramer (avec une haute fréquence), puis atténuer le tramage dans l'image de votre choix (ou a priori *bird.jpeg*) en filtrant dans le plan de Fourier.

[Tramage avec un cosinus tel que :  
 $tramage = 1 + \cos(2\pi x/T) * coeff$ ,  $T=12.8 \text{ px}$ ,  $coeff=0.2$ ,  
 puis faire :  $image = image + tramage$ ]



```

1  %%% (0) PRÉLIMINAIRES
2
3  %%% préliminaires
4  clear
5  close all
6  %pkg load image
7
8  %%% préparation image
9  img=imread('/Users/marcel/Documents/MATLAB/GBM/0-images/bird.jpg');
10 img=rgb2gray(img); img=double(img)/255.;
11 dim=size(img); dim=dim(1);
12 fx=((0:dim-1)-dim/2)/dim; fy=((0:dim-1)-dim/2)/dim;
13
14 %%% FFT(image) - pour comparaison
15 img_chap = fftshift(fft2(img)); % on se place dans un plan de Fourier
16 % cette fois-ci ré-ordonné !
17
18 %%% (1) TRAMAGE
19
20 Tx=12.8; % Tx=12.8 [px]
21 % => fc [en px^-1] = 1/Tx ≈ 0.08 px^-1
22 % => fc [en frequels] = 1/Tx*dim = 20 frequels
23 x=0:(dim-1); coeff=.2;
24 tram=ones(dim,1)*(1+cos(2*pi*x/Tx))*coeff;
25 imgt=img+tram;
26 imgt_chap = fftshift(fft2(imgt));
    
```

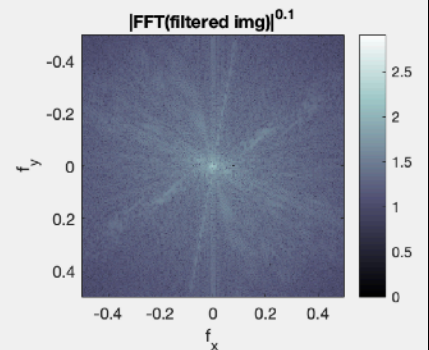
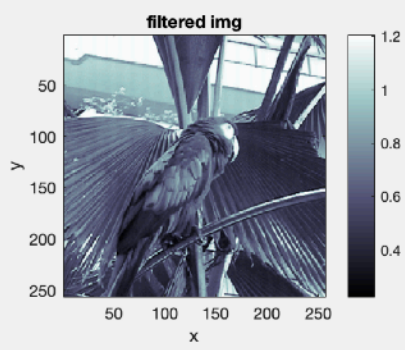
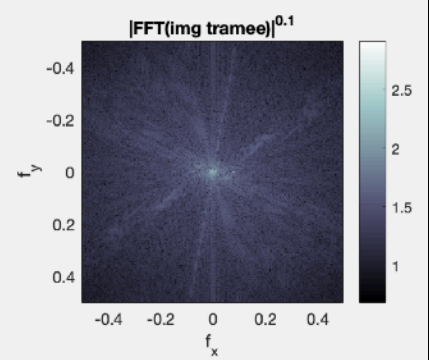
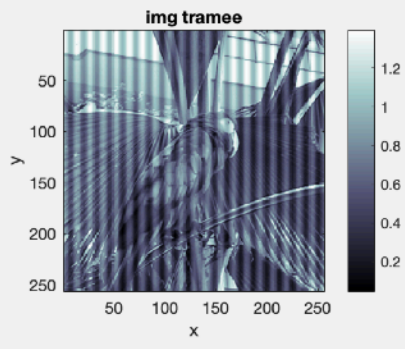
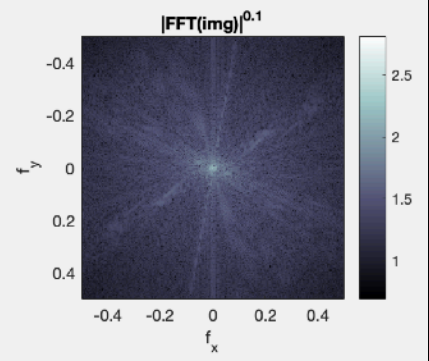
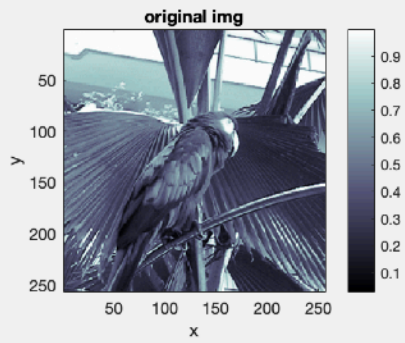


```

28     %%% (2) DÉTRAMAGE
29
30     %%% filtrage coupe-fréquel (détramage)
31     imgt_chap_filt=imgt_chap;
32     fc = dim/Tx;
33     imgt_chap_filt(dim/2+1,dim/2+1+fc)=0.;
34     imgt_chap_filt(dim/2+1,dim/2+1-fc)=0.;
35     imgt_filt=real(iff2(iffshift(imgt_chap_filt)));
36                                     % à cause du ré-ordonnage dans le plan de
37                                     % Fourier, on est obligé d'utiliser
38                                     % iffshift avant de faire la FFT inverse
39
40     %%% résultat tramage/détramage
41     figure, colormap('bone')
42
43     subplot(3,2,1)
44     imagesc(img), colorbar, axis('square')
45     title('original img'), xlabel('x'), ylabel('y')
46
47     subplot(3,2,2)
48     imagesc(fx,fy,abs(img_chap).^1), colorbar, axis('square')
49     title('|FFT(img) |^{0.1}'), xlabel('f_x'), ylabel('f_y')
50
51     subplot(3,2,3)
52     imagesc(imgt), colorbar, axis('square')
53     title('img tramee'), xlabel('x'), ylabel('y')
54
55     subplot(3,2,4)
56     imagesc(fx,fy,abs(imgt_chap).^1), colorbar, axis('square')
57     title('|FFT(img tramee) |^{0.1}'), xlabel('f_x'), ylabel('f_y')
58
59     subplot(3,2,5)
60     imagesc(imgt_filt), colorbar, axis('square')
61     title('filtered img'), xlabel('x'), ylabel('y')
62
63     subplot(3,2,6)
64     imagesc(fx,fy,abs(imgt_chap_filt).^1), colorbar, axis('square')
65     title('|FFT(filtered img) |^{0.1}'), xlabel('f_x'), ylabel('f_y')

```





## 4 - Reconstruction d'image

Il s'agit de « déflouter » (en fait déconvoluer) une image, rendue floue par ailleurs.

$$I_{\text{floue}} = I \otimes G$$

où  $\otimes$  est l'opérateur de la convolution et  $G$  la fonction qui rend floue l'image  $I$ .

$$\Rightarrow \hat{I}_{\text{floue}} = \hat{I} \times \hat{G}$$

où  $\times$  est ici une multiplication élément par élément.

Une idée (qui est naturelle mais pas forcément très bonne en présence de bruit, ne serait-ce que numérique) serait de poser :

$$\hat{I} = \hat{I}_{\text{floue}} / \hat{G}$$

Mais on doit déjà considérer le fait que l'on est en présence de nombres complexes, et donc on a :

$$\hat{I} = |\hat{I}| \exp\{i\phi_I\}$$

$$\hat{G} = |\hat{G}| \exp\{i\phi_G\}$$

$$\hat{I}_{\text{floue}} = |\hat{I}_{\text{floue}}| \exp\{i\phi_{I_{\text{floue}}}\}$$

d'où :

$$\hat{I} = \frac{|\hat{I}_{\text{floue}}|}{|\hat{G}|} \exp\left(\iota \left(\phi_{I_{\text{floue}}} - \phi_G\right)\right)$$

où la division des deux modules est a priori très délicate à cause des valeurs de  $|\hat{G}|$  quand elles sont proches de zéro.

=> solution : appliquer un seuil à  $|\hat{G}|$  afin d'éviter les points qui vont diverger vers l'infini à cause de la division...

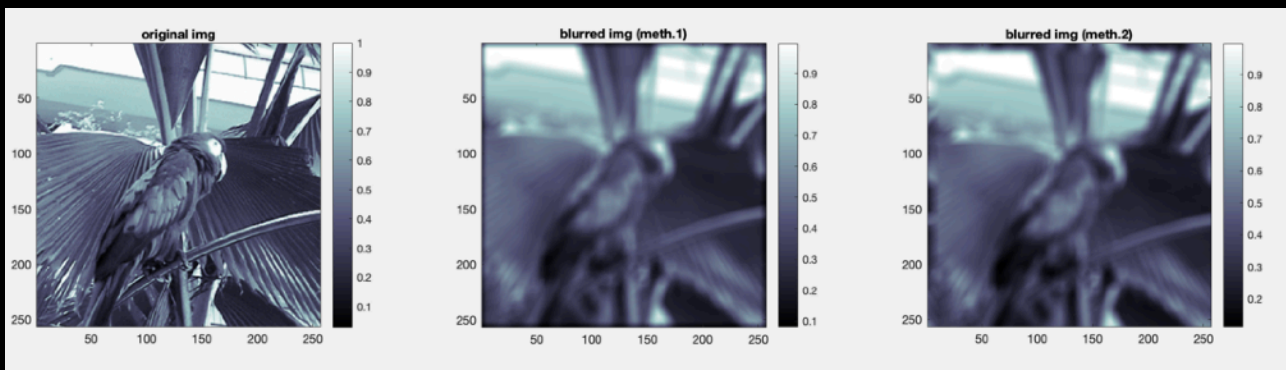
... et ce en appliquant :

- $|\hat{G}| \geq s$  :  $|\hat{G}| \text{ ok} \Rightarrow \hat{G} \text{ ok.}$
- $|\hat{G}| < s$  :  $|\hat{G}| = \text{seuil} \Rightarrow \hat{G} = \text{seuil} \times \exp\{\iota\phi_G\}$

Il s'agit d'un **filtre inverse**.

- **Exercice 15** : Prendre l'image précédente, la flouter en la convoluant par un disque de rayon 3, puis 6, puis 12px, puis appliquer un *filtre inverse* afin d'opérer une tentative de reconstruction de l'image initiale. Jouer avec le seuil.

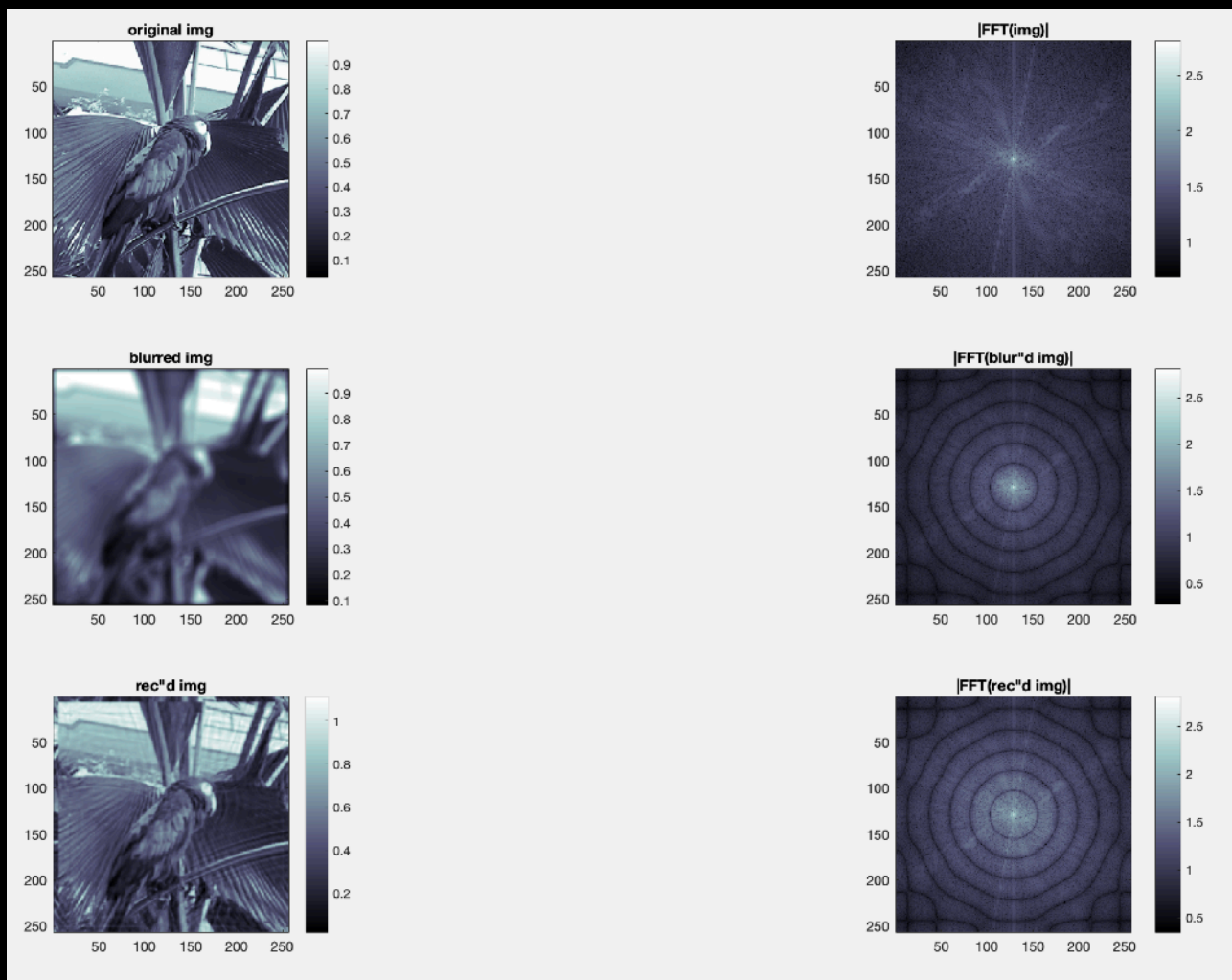
```
1  %%%%%%%%%%%%%%%%%%%%%%%%%%%%%%%%%%%%%%%%%%
2  %% FILTRAGE INVERSE %%
3  %%%%%%%%%%%%%%%%%%%%%%%%%%%%%%%%%%%%%%%%%%
4
5  %% préliminaires
6  clear
7  close all
8
9  %%%%%%%%%%%%%%%%%%%%%%%%%%%%%%%%%%%%%%%%%%
10 %% PREMIÈRE PARTIE : SIMULATION %%
11 %%%%%%%%%%%%%%%%%%%%%%%%%%%%%%%%%%%%%%%%%%
12
13 %% préparation image
14 img=imread('/Users/marcel/Documents/MATLAB/GBM/0-images/bird.jpg');
15 img=rgb2gray(img); img=double(img)/255.;
16 dim=size(img); dimx=dim(1); dimy=dim(2);
17 img_chap = fft2(img); % pour comparaison
18
19 %% floutage (convolution par un disque)
20 rr=3; gag=fspecial('disk',rr);
21 %% convolution dans le plan direct
22 gau=zeros(dim);
23 gau(dimx/2+1-rr:dimx/2+1+rr, dimy/2+1-rr:dimy/2+1+rr)=gag;
24 imgg=convn(img,gau,'same');
25 %% solution alternative (dans le plan de Fourier)
26 gag_chap=fft2(gag,dimx,dimy);
27 imgg_chap=gag_chap.*img_chap;
28 imgg2 = real(ifft2(imgg_chap));
29 %% affichage floutage
30 figure(1), colormap('bone')
31 subplot(1,3,1), imagesc(img), colorbar
32 title('original img'), axis('image')
33 subplot(1,3,2), imagesc(imgg), colorbar
34 title('blurred img (meth.1)'), axis('image')
35 subplot(1,3,3), imagesc(imgg2), colorbar
36 title('blurred img (meth.2)'), axis('image')
```



```

38 %%%%%%%%%%%%%%%%%%%%%%%%%%%%%%%%%%%%%%%%%%%%%%%%%%%%%%%%%%%%%%%%%%%%%%%%%
39 %%% DEUXIÈME PARTIE : TRAITEMENT %%%
40 %%%%%%%%%%%%%%%%%%%%%%%%%%%%%%%%%%%%%%%%%%%%%%%%%%%%%%%%%%%%%%%%%%%%%%%%%
41
42 %%% défloutage par filtrage inverse
43 imgg_chap=fft2(imgg2);
44 gau_chap=fft2(gau);
45 seuil = .01; % on peut jouer ici avec le seuil pour un résultat optimal
46 idx=find(abs(gau_chap) < seuil);
47 gau_chap(idx)=seuil*exp(complex(0,1)*angle(gau_chap(idx)));
48 img_rec_chap=imgg_chap./gau_chap;
49 img_rec=real(ifftshift(ifft2(img_rec_chap)));
50
51 %%% affichage filtrage inverse
52 figure(2), colormap('bone')
53 subplot(3,2,1), imagesc(img), colorbar
54 title('original img'), axis('image')
55 subplot(3,2,2), imagesc(abs(fftshift(img_chap)).^1), colorbar
56 title('|FFT(img)|'), axis('image')
57 subplot(3,2,3), imagesc(imgg), colorbar
58 title('blurred image'), axis('image')
59 subplot(3,2,4), imagesc(abs(fftshift(imgg_chap)).^1), colorbar
60 title('|FFT(blurred img)|'), axis('image')
61 subplot(3,2,5), imagesc(img_rec), colorbar
62 title("rec'd image"), axis('image')
63 subplot(3,2,6), imagesc(abs(fftshift(img_rec_chap)).^1), colorbar
64 title("|FFT(rec'd image)|"), axis('image')

```



—> on remarque des artefacts dus aux bords...  
=> solution : zero-padding !

- **Exercice 16 :** Reprendre l'exercice 15 en appliquant du pavage de zéro (zero-padding) dans des tableaux deux fois plus grands (linéairement, i.e. quatre fois plus grands en surface!).



```

1  %%%%%%%%%%%%%%%%%%%%%%%%%%%%%%%%%%%%%%%%%%%%%%%%%%%%%%%%%%
2  %% FILTRAGE INVERSE AVEC ZERRO_PADDING %%
3  %%%%%%%%%%%%%%%%%%%%%%%%%%%%%%%%%%%%%%%%%%%%%%%%%%%%%%%%%%
4
5  %% préliminaires
6  clear
7  close all
8
9  %%%%%%%%%%%%%%%%%%%%%%%%%%%%%%%%%%%%%%%%%%%%%%%%%%%%%%%%%%
10 %% PREMIÈRE PARTIE : SIMULATION %%
11 %%%%%%%%%%%%%%%%%%%%%%%%%%%%%%%%%%%%%%%%%%%%%%%%%%%%%%%%%%
12
13 %% préparation image
14 img=imread('/Users/marcel/Documents/MATLAB/GBM/0-images/bird.jpg');
15 img=rgb2gray(img); img=double(img)/255.;
16 dim=size(img); dimx=dim(1); dimy=dim(2);
17 img_chap = fft2(img,2*dimx,2*dimy); % FFT (+zero-padding au passage)
18
19 %% floutage (convolution par un disque) (+zero-padding au passage)
20 rr=6; gag=fspecial('disk',rr);
21 gau=zeros(dim); gau(dimx/2+1-rr:dimx/2+1+rr,dimy/2+1-rr:dimy/2+1+rr)=gag;
22 dummy=conv2(img,gau,'full'); imgg=zeros(2*dimx,2*dimy); imgg(2:end,2:end)=dummy;

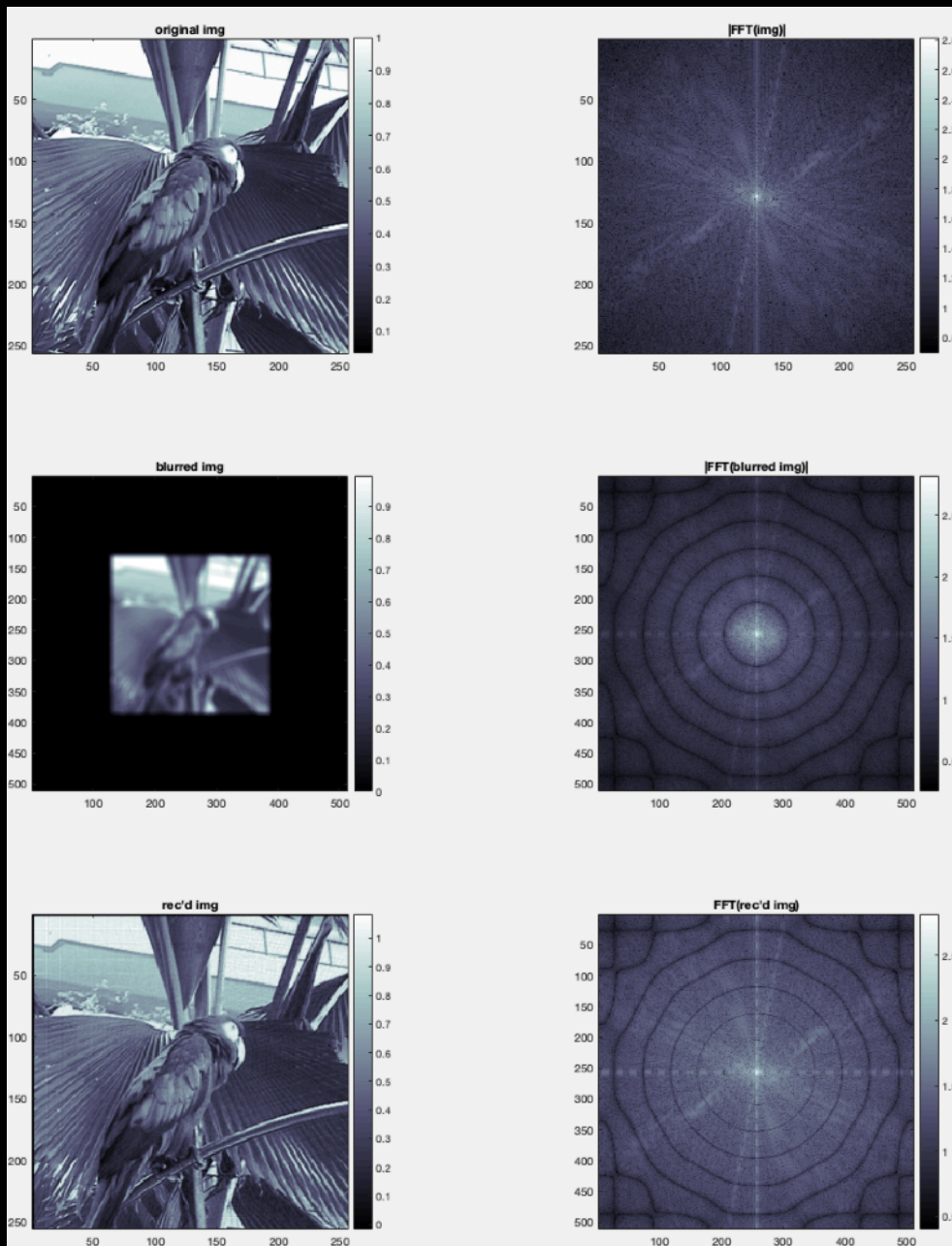
```

```

24 %%%%%%%%%%%%%%%%%%%%%%%%%%%%%%%%%%%%%%%%%%%%%%%%%%%%%%%%%%
25 %% DEUXIÈME PARTIE : TRAITEMENT %%
26 %%%%%%%%%%%%%%%%%%%%%%%%%%%%%%%%%%%%%%%%%%%%%%%%%%%%%%%%%%
27
28 %% défloutage par filtrage inverse
29 gau_chap=fft2(gau,2*dimx,2*dimy);
30 imgg_chap=fft2(imgg);
31 seuil = .01; % on peut jouer ici avec le seuil pour un résultat optimal
32 idx=find(abs(gau_chap) < seuil);
33 gau_chap(idx)=seuil*exp(complex(0,1)*angle(gau_chap(idx)));
34 img_rec_chap=imgg_chap./gau_chap;
35 img_rec=real(iff2(img_rec_chap));
36 img_rec=img_rec(1:dimx,1:dimy); % pas besoin de réordonner les quadrants
37 % ici, on prend directement le bon
38 %% affichage filtrage inverse avec zero padding
39 figure(), colormap('bone')
40 subplot(3,2,1), imagesc(img), colorbar
41 title('original img'), axis('image')
42 subplot(3,2,2), imagesc(abs(fftshift(fft2(img))).^1), colorbar
43 title('|FFT(img)|'), axis('image')
44 subplot(3,2,3), imagesc(imgg), colorbar
45 title('blurred img'), axis('image')
46 subplot(3,2,4), imagesc(abs(fftshift(imgg_chap)).^1), colorbar
47 title('|FFT(blurred img)|'), axis('image')
48 subplot(3,2,5), imagesc(img_rec), colorbar
49 title("rec'd img"), axis('image')
50 subplot(3,2,6), imagesc(abs(fftshift(img_rec_chap)).^1), colorbar
51 title("FFT(rec'd img)"), axis('square')

```





- Préférer à partir de maintenant la méthode de convolution en passant par Fourier pour le floutage.

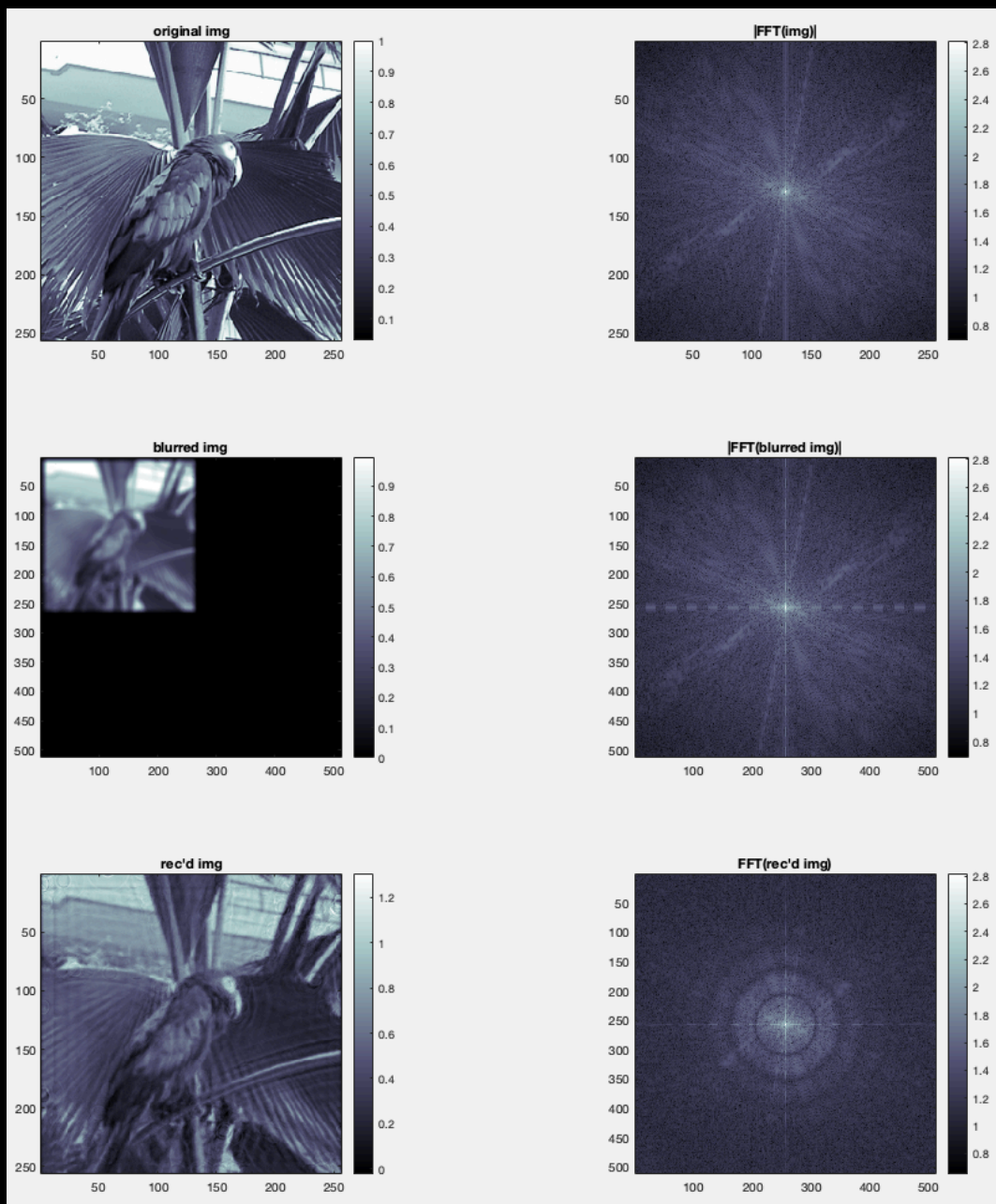
- **Exercice 17** : Reprendre l'exercice en lui appliquant un bruit poivre et sel affectant 2% des pixels. Après avoir tenter une reconstruction de l'image floutée par inversion, penser à tenter une réduction du bruit poivre et sel avant, puis jouer avec le seuil pour trouver un équilibre entre artefacts et propagation du bruit.

```
1  %%%%%%%%%%%%%%%%%%%%%%%%%%%%%%%%%%%%%%%%%%%%%%%%%%%%%%%%%%
2  %%% FILTRAGE INVERSE EN PRÉSENCE DE BRUIT P&S %%%
3  %%%%%%%%%%%%%%%%%%%%%%%%%%%%%%%%%%%%%%%%%%%%%%%%%%%%%%%%%%
4
5  %%% préliminaires
6  clear
7  close all
8
9  %%%%%%%%%%%%%%%%%%%%%%%%%%%%%%%%%%%%%%%%%%%%%%%%%%%%%%%%%%
10 %%% PREMIÈRE PARTIE : SIMULATION %%%
11 %%%%%%%%%%%%%%%%%%%%%%%%%%%%%%%%%%%%%%%%%%%%%%%%%%%%%%%%%%
12
13 %%% préparation image
14 img=imread('/Users/marcel/Documents/MATLAB/GBM/0-images/bird.jpg');
15 img=rgb2gray(img); img=double(img)/255.;
16 dim=size(img); dimx=dim(1); dimy=dim(2);
17 img_chap = fft2(img,2*dimx,2*dimy); % FFT (+zero-padding au passage)
18
19 %%% floutage (convolution par un disque) avec zero-padding
20 %%% solution alternative (dans le plan de Fourier)
21 rr=6; gag=fspecial('disk',rr); gag_chap=fft2(gag,2*dimx,2*dimy);
22 imgg_chap=gag_chap.*img_chap; imgg = real(ifft2(imgg_chap));
23
24 %%% bruitage poivre et sel à 2%
25 imgg=imnoise(imgg, 'salt & pepper',0.02);
```

```

27 %%%%%%%%%%%%%%%%%%%%%%%%%%%%%%%%%%%%%%%%%%%%%%%%%%%%%%%%%%
28 %% DEUXIÈME PARTIE : TRAITEMENT %%
29 %%%%%%%%%%%%%%%%%%%%%%%%%%%%%%%%%%%%%%%%%%%%%%%%%%%%%%%%%%
30
31 %% filtre médian pour contrer le bruit p&s
32 imgg=medfilt2(imgg);
33
34 %% défloutage par filtrage inverse
35 gau_chap=gag_chap;
36 imgg_chap=fft2(imgg);
37 seuil = .1; % on a ici monté le seuil (à optimiser!)
38 idx=find(abs(gau_chap) < seuil);
39 gau_chap(idx)=seuil*exp(complex(0,1)*angle(gau_chap(idx)));
40 img_rec_chap=imgg_chap./gau_chap;
41 img_rec=real(iff2(img_rec_chap));
42 img_rec=img_rec(1:dimx,1:dimy);
43
44 %% affichage filtrage inverse avec zero padding en présence de bruit p&s
45 figure(), colormap('bone')
46 subplot(3,2,1), imagesc(img), colorbar
47 title('original img'), axis('image')
48 subplot(3,2,2), imagesc(abs(fftshift(fft2(img))).^1), colorbar
49 title('|FFT(img)|'), axis('image')
50 subplot(3,2,3), imagesc(imgg), colorbar
51 title('blurred img'), axis('image')
52 subplot(3,2,4), imagesc(abs(fftshift(img_chap)).^1), colorbar
53 title('|FFT(blurred img)|'), axis('image')
54 subplot(3,2,5), imagesc(img_rec), colorbar
55 title("rec'd img"), axis('image')
56 subplot(3,2,6), imagesc(abs(fftshift(img_rec_chap)).^1), colorbar
57 title("FFT(rec'd img)"), axis('image')

```



- **Exercice 18 :** Reprendre l'exercice en lui appliquant toujours un bruit poivre et sel (2% des pixels), et de surcroît un bruit Gaussien d'écart type relatif 0.05. En plus du filtre non-linéaire permettant de réduire au maximum le bruit poivre et sel, jouer avec le seuil pour trouver un nouvel équilibre entre artefacts et propagation des bruits.

```

1  %%%%%%%%%%%%%%%%%%%%%%%%%%%%%%%%%%%%%%%%%%%%%%%%%%%%%%%%%%
2  %%% FILTRAGE INVERSE AVEC P&S ET RON %%%
3  %%%%%%%%%%%%%%%%%%%%%%%%%%%%%%%%%%%%%%%%%%%%%%%%%%%%%%%%%%
4
5  %%% préliminaires
6  clear
7  close all
8
9  %%% préparation image
10 img=imread('/Users/marcel/Documents/MATLAB/GBM/0-images/bird.jpg');
11 img=rgb2gray(img); img=double(img)/255.;
12 dim=size(img); dimx=dim(1); dimy=dim(2);
13 img_chap = fft2(img,2*dimx,2*dimy); % FFT (+zero-padding au passage)
14
15 %%% floutage (convolution par un disque) (+zero-padding au passage)
16 rr=6; gag=fspecial('disk',rr); gag_chap=fft2(gag,2*dimx,2*dimy);
17 imgg_chap=gag_chap.*img_chap; imgg = real(ifft2(imgg_chap));
18
19 %%% bruitage poivre et sel à 2%
20 imgg=imnoise(imgg, 'salt & pepper', 0.02);
21
22 %%% bruitage gaussien additif (sigma=0.05)
23 imgg=imnoise(imgg, 'gaussian', 0., 0.05^2);
24
25 %%% filtre médian pour contrer le bruit p&s
26 imgg_mf=medfilt2(imgg);

```

```

28 %%%%%%%%%%%%%%%%%%%%%%%%%%%%%%%%%%%%%%%%%%%%%%%%%%%%%%%%%%
29 %%% DEUXIÈME PARTIE : TRAITEMENT %%%
30 %%%%%%%%%%%%%%%%%%%%%%%%%%%%%%%%%%%%%%%%%%%%%%%%%%%%%%%%%%
31
32 %%% ajouter éventuellement une étape de réduction du bruit gaussien...
33
34 % défloutage par filtrage inverse
35 imgg_mf_chap=fft2(imgg_mf);
36 gau_chap=gag_chap;
37 seuil = .5; % on a ici jouer avec le seuil (à optimiser!)
38 idx=find(abs(gau_chap) < seuil);
39 gau_chap(idx)=seuil*exp(complex(0,1)*angle(gau_chap(idx)));
40 img_rec_chap=imgg_mf_chap./gau_chap;
41 img_rec=real(ifft2(img_rec_chap)); img_rec=img_rec(1:dimx,1:dimy);
42
43 %%% affichage filtrage inverse avec zero padding
44 figure(), colormap('bone')
45 subplot(3,2,1), imagesc(img), colorbar
46 title('original img'), axis('image')
47 subplot(3,2,2), imagesc(abs(fftshift(fft2(img))).^1), colorbar
48 title('|FFT(img)|'), axis('image')
49 subplot(3,2,3), imagesc(imgg), colorbar
50 title('blurry+noisy img'), axis('image')
51 subplot(3,2,4), imagesc(abs(fftshift(imgg_chap)).^1), colorbar
52 title('|FFT(blurred img)|'), axis('image')
53 subplot(3,2,5), imagesc(img_rec), colorbar
54 title('restaured img'), axis('image')
55 subplot(3,2,6), imagesc(abs(fftshift(img_rec_chap)).^1), colorbar
56 title('FFT(rec"d img)'), axis('image')

```



